

**Curs 11**

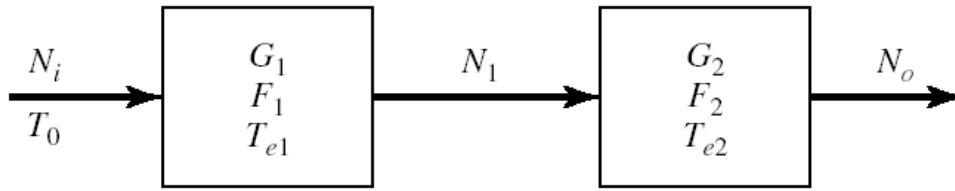
2015/2016

# Dispozitive și circuite de microunde pentru radiocomunicații

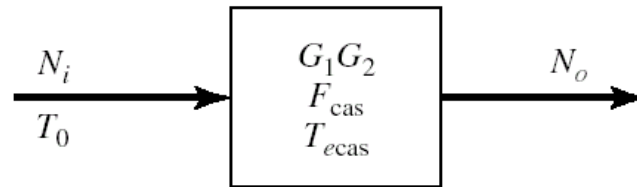
Proiectare pentru zgomot redus

# Amplificatoare de microunde

# Factor de zgomot al circuitelor cascade



(a)



$$G_{cas} = G_1 \cdot G_2 \quad (b) \quad F_{cas} = F_1 + \frac{1}{G_1} (F_2 - 1)$$

- Ecuația Friis (!coordonate liniare)

$$G_{cas} = G_1 \cdot G_2 \cdot G_3 \cdot G_4 \cdots$$

$$F_{cas} = F_1 + \frac{F_2 - 1}{G_1} + \frac{F_3 - 1}{G_1 \cdot G_2} + \frac{F_4 - 1}{G_1 \cdot G_2 \cdot G_3} + \cdots$$

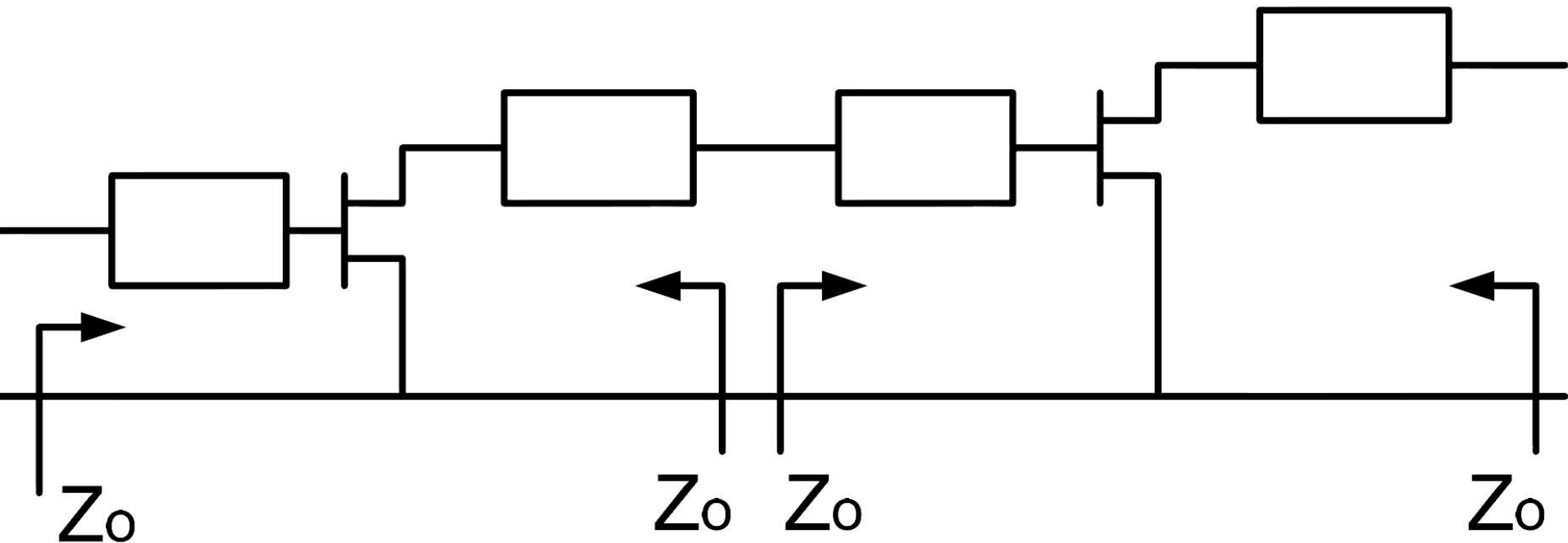
# Formula lui Friis (zgomot)

$$F_{cas} = F_1 + \frac{F_2 - 1}{G_1} + \frac{F_3 - 1}{G_1 \cdot G_2} + \frac{F_4 - 1}{G_1 \cdot G_2 \cdot G_3} + \dots$$

- Formula lui Friis arata ca
  - zgomotul unor circuite in cascada este in mare parte determinat de circuitul de la intrare
  - zgomotul introdus de celelalte circuite este redus
    - -1
    - impartire la G (de obicei supraunitar)

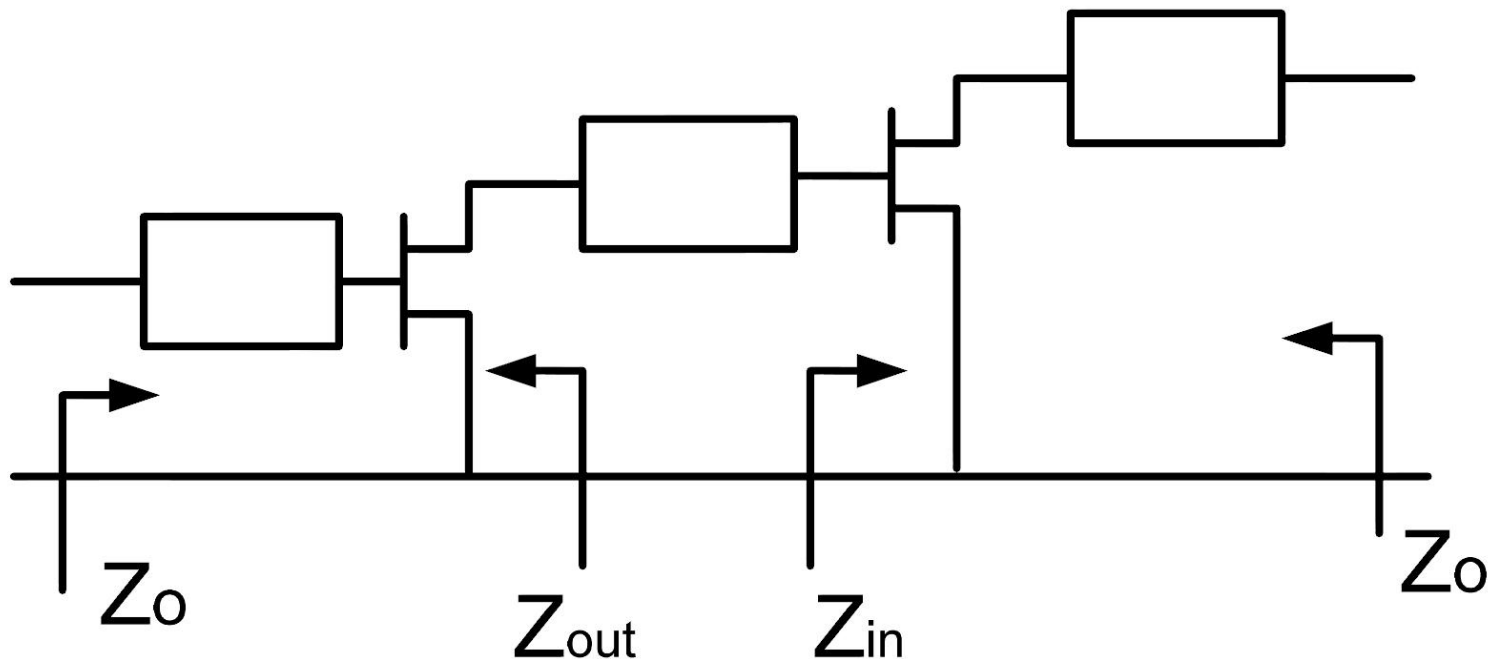
# Amplificatoare in cascada

- Adaptarea inter-etaje se poate proiecta in doua moduri:
  - adaptarea fiecarui etaj spre un  $\Gamma = 0$  intermediar



# Amplificatoare in cascada

- Adaptarea inter-etaje se poate proiecta in doua moduri:
  - adaptarea unui etaj spre  $\Gamma$  necesar pentru celalalt

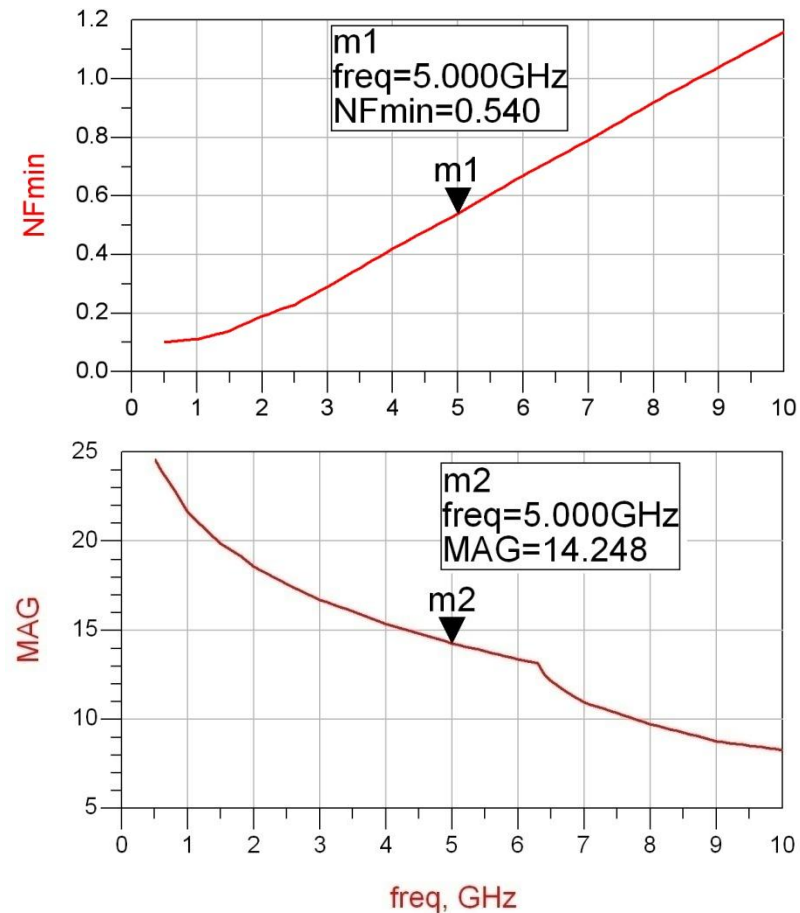


# Exemplu LNA cascada

- Similar cu tema de la mini-proiect
- Amplificator LNA cu ATF-34143 avand caracteristicile:
  - $G = 20\text{dB}$
  - $F = 1\text{dB}$
  - $@f = 5\text{GHz}$

# Exemplu

- ATF-34143 at  $V_{ds}=3V$   $I_d=20mA$ .
- @5GHz
  - $S_{11} = 0.64 \angle 139^\circ$
  - $S_{12} = 0.119 \angle -21^\circ$
  - $S_{21} = 3.165 \angle 16^\circ$
  - $S_{22} = 0.22 \angle 146^\circ$
  - $F_{min} = 0.54$  (**tipic [dB] !**)
  - $\Gamma_{opt} = 0.45 \angle 174^\circ$
  - $r_n = 0.03$



# Amplificatoare in cascada

- Daca e necesar un castig mai mare decat cel care poate fi oferit de un singur tranzistor
  - necesar 20dB
  - $MAG @5GHz = 14.248 \text{ dB} < 20\text{dB}$
- Se utilizeaza formula lui Friis pentru a impartii necesarul de:
  - castig
  - zgomot
- pe cele doua etaje individuale

# Formula lui Friis (zgomot)

$$F_{cas} = F_1 + \frac{F_2 - 1}{G_1} + \frac{F_3 - 1}{G_1 \cdot G_2} + \frac{F_4 - 1}{G_1 \cdot G_2 \cdot G_3} + \dots$$

- Formula lui Friis, efecte:
  - e esential ca primul etaj de amplificare sa fie **nezgomotos**, chiar cu sacrificarea in parte a castigului
  - urmatoarele etaje pot fi optimizate pentru **castig**
- Formula lui Friis trebuie utilizata in **coordonate liniare**
- **Avago AppCAD**
  - AppCAD Free Design Assistant Tool for Microsoft Windows

# Formula lui Friis (zgomot)

$$G_{cas} = G_1 \cdot G_2$$

$$F_{cas} = F_1 + \frac{1}{G_1} (F_2 - 1)$$

- Formula lui Friis
  - primul etaj factor de zgomot mai mic, probabil insotit de un castig mai mic
  - al doilea etaj castig mare, probabil insotit de un factor de zgomot mai mare
- Este esential sa se pastreze o rezerva
  - $G = G_{tema} + \Delta G$
  - $F = F_{tema} - \Delta F$
- Tema se interpreteaza
  - $G > G_{tema}$ , mai bine, fara a fi nevoie sa se sacrifice alti parametri pentru castiguri mult mai mari
  - $F < F_{tema}$ , mai bine, cu cat mai mic cu atat mai bine, e util sa se incerce obtinerea unui **zgomot cat mai mic**, cu indeplinirea celorlalte conditii

# Formula lui Friis (zgomot)

- Formula lui Friis
  - primul etaj factor de zgomot mai mic, probabil insotit de un castig mai mic
  - al doilea etaj castig mare, probabil insotit de un factor de zgomot mai mare
- Impartire pe cele doua etaje (Estimat)
  - intrare:  $F_1 = 0.7$  dB,  $G_1 = 9$  dB
  - iesire:  $F_2 = 1.2$  dB,  $G_2 = 13$  dB
- Transformare **in coordonate liniare !**

$$F_1 = 10^{\frac{F_1[dB]}{10}} = 10^{0.07} = 1.175$$

$$F_2 = 10^{\frac{F_2[dB]}{10}} = 10^{0.12} = 1.318$$

$$F_{cas} = F_1 + \frac{1}{G_1} (F_2 - 1) = 1.215$$

$$F_{cas} = 10 \cdot \log(1.215) = 0.846 \text{ dB}$$

$$G_1 = 10^{\frac{G_1[dB]}{10}} = 10^{0.9} = 7.943$$

$$G_2 = 10^{\frac{G_2[dB]}{10}} = 10^{1.3} = 19.953$$

$$G_{cas} = G_1 \cdot G_2 = 158.49$$

$$G_{cas} = 10 \cdot \log(158.49) = 22 \text{ dB}$$

# Proiectare etaje cascade

- Impartire pe cele doua etaje (Estimat)
  - intrare:  $F_1 = 0.7 \text{ dB}$ ,  $G_1 = 9 \text{ dB}$
  - iesire:  $F_2 = 1.2 \text{ dB}$ ,  $G_2 = 13 \text{ dB}$
  - total:  $F = 0.85 \text{ dB}$ ,  $G = 22 \text{ dB}$
- Indeplineste conditiile din tema (cu rezerva corespunzatoare)
- Se poate refolosi o parte din calculul amplificatorului cu un singur etaj (C10)
  - adaptarea la intrare anterioara este potrivita la intrarea amplificatorului multietaj – zgomot f. mic, castig onorabil
  - adaptare la iesire este conceputa pentru castig maxim
  - intrarea si iesirea erau proiectate pentru  $50\Omega$  la intrare si iesire (similar cu situatia curenta)

# Exemplu C10, LNA @ 5 GHz

$$U = \frac{|S_{12}| \cdot |S_{21}| \cdot |S_{11}| \cdot |S_{22}|}{(1 - |S_{11}|^2) \cdot (1 - |S_{22}|^2)} = 0.094 \quad -0.783 \text{ dB} < G_T [\text{dB}] - G_{TU} [\text{dB}] < 0.861 \text{ dB}$$

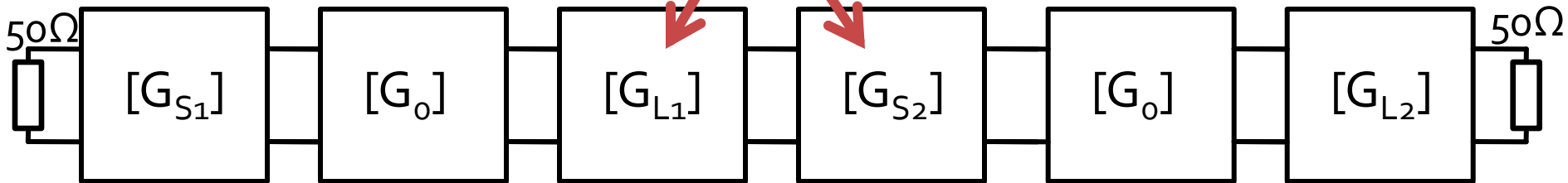
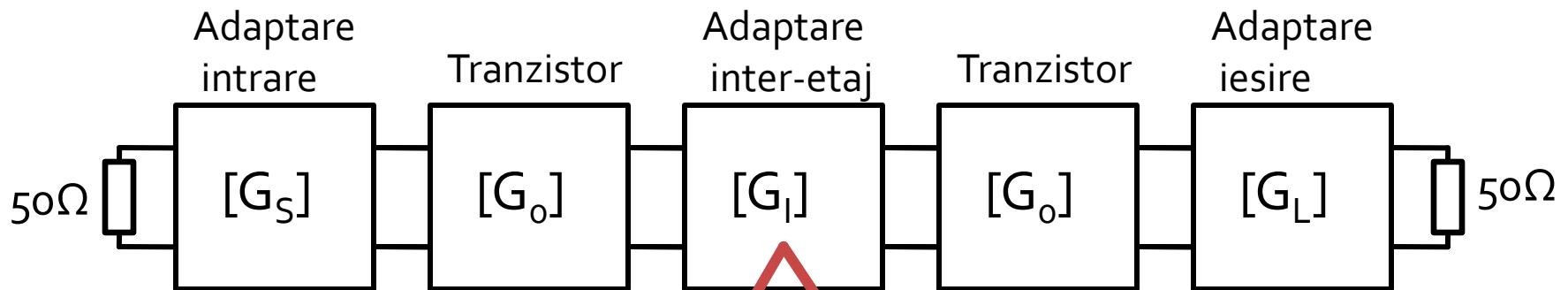
$$G_{TU \text{ max}} = \frac{1}{1 - |S_{11}|^2} \cdot |S_{21}|^2 \cdot \frac{1}{1 - |S_{22}|^2} = 17.83 \quad G_{TU \text{ max}} [\text{dB}] = 12.511 \text{ dB}$$

$$G_{S \text{ max}} = \frac{1}{1 - |S_{11}|^2} = 1.694 = 2.289 \text{ dB}$$

$$G_0 = |S_{21}|^2 = 10.017 = 10.007 \text{ dB}$$

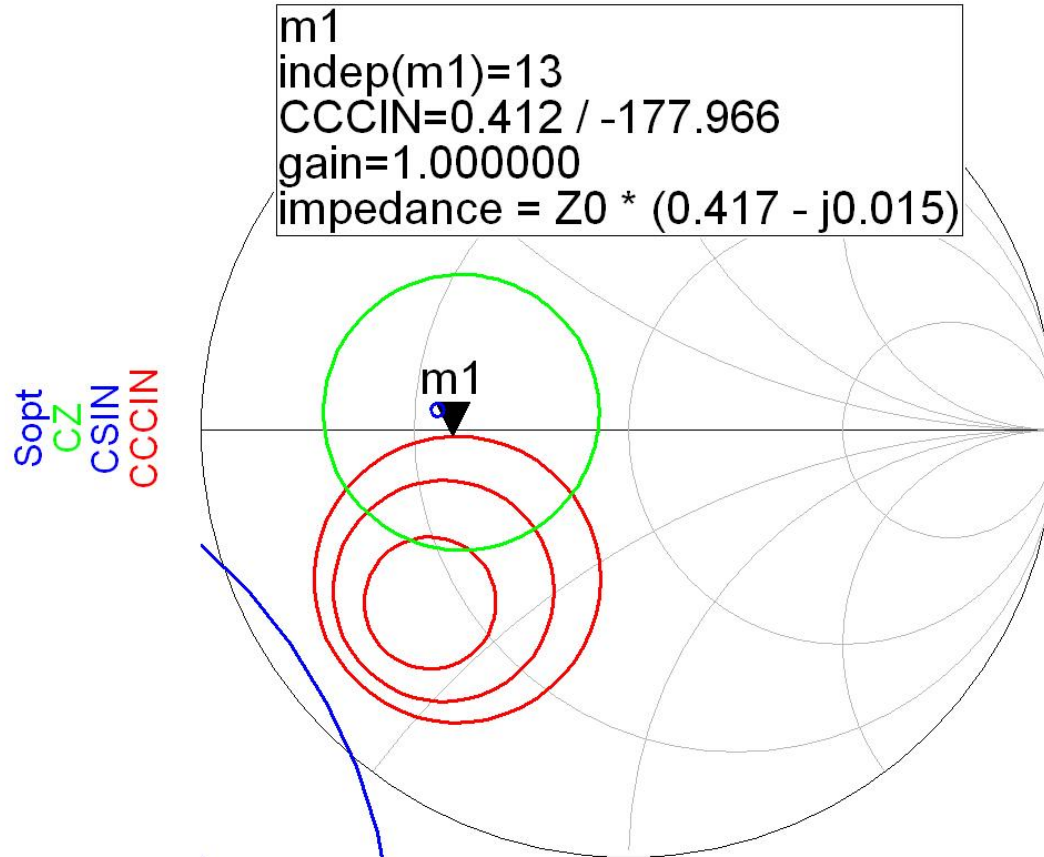
$$G_{L \text{ max}} = \frac{1}{1 - |S_{22}|^2} = 1.051 = 0.215 \text{ dB}$$

# Proiectare etaje cascade



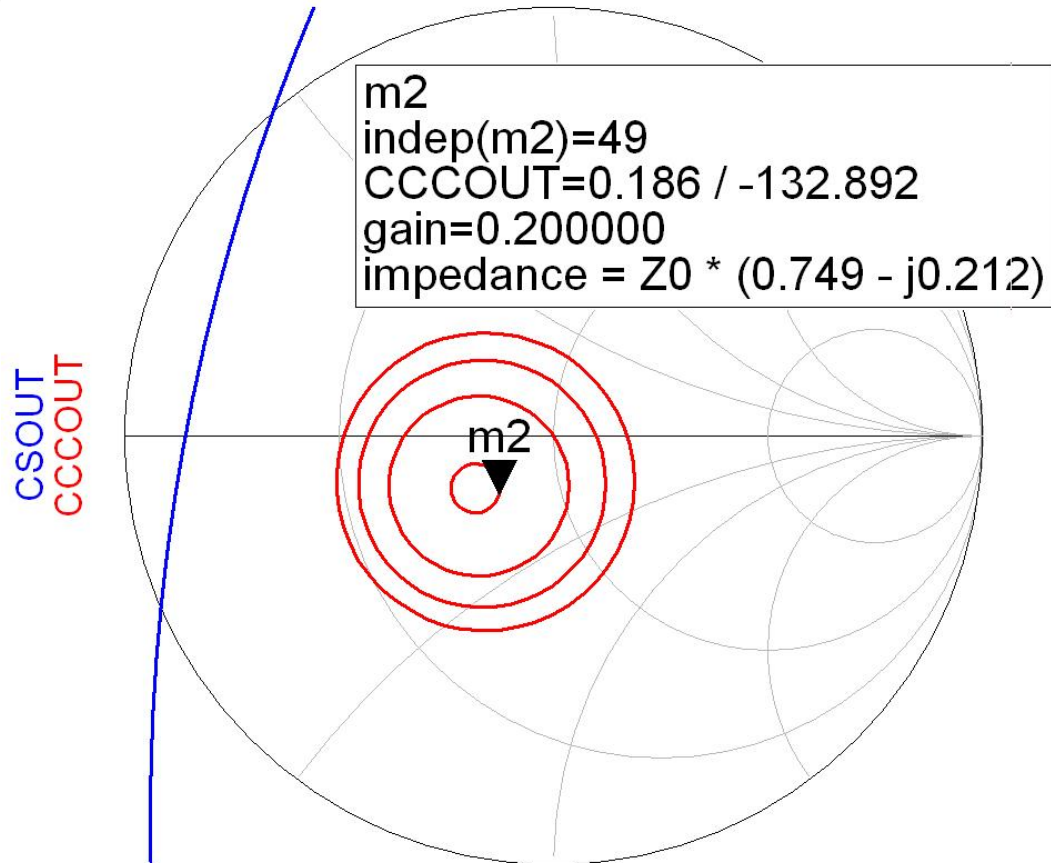
- Calcul castig
  - adaptarea inter-etaje poate aduce un supliment de castig la ambele etaje de amplificare
  - Proiectarea pentru etajele de intrare si iesire e recomandabil sa se faca pe schema mai simpla cu un singur tranzistor

# Adaptare la intrare, C<sub>10</sub>



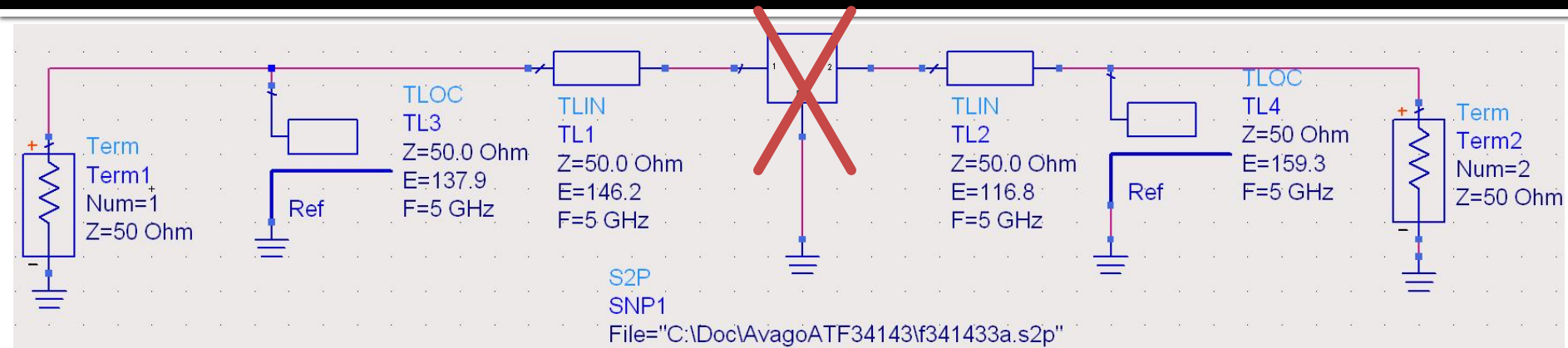
- $G_{s1} = 1 \text{ dB}$
- $F_1 = 0.55 \text{ dB}$

# Adaptare la iesire, C10



- $G_{L_2} = 0.2 \text{ dB}$

# Realizare cu linii, intrare si iesire



$$\cos(\varphi + 2\theta) = -|\Gamma_S|$$

$$\text{Im}[y_S(\theta)] = \frac{\mp 2 \cdot |\Gamma_S|}{\sqrt{1 - |\Gamma_S|^2}}$$

$$(\varphi + 2\theta) = \begin{cases} +114.33^\circ \\ -114.33^\circ \end{cases} \quad \theta = \begin{cases} 146.2^\circ \\ 31.8^\circ \end{cases}$$

$$\text{Im}[y_S(\theta)] = \begin{cases} -0.904 \\ +0.904 \end{cases} \quad \theta_{sp} = \begin{cases} 137.9^\circ \\ 42.1^\circ \end{cases}$$

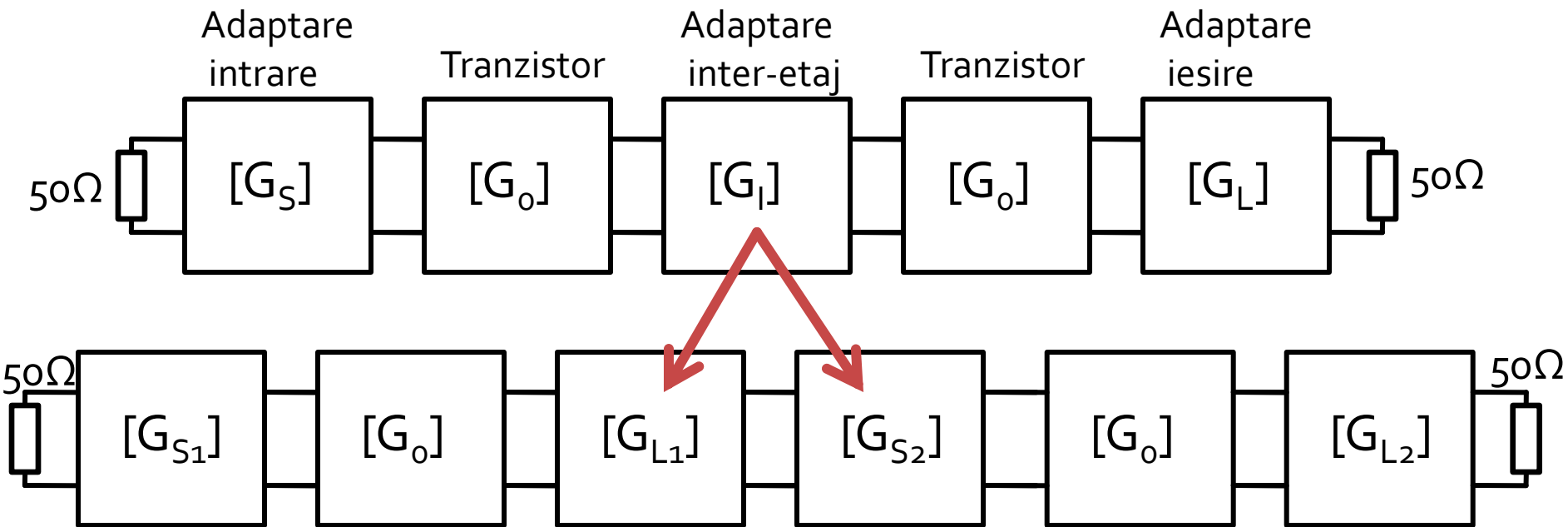
$$\cos(\varphi + 2\theta) = -|\Gamma_L|$$

$$\text{Im}[y_L(\theta)] = \frac{-2 \cdot |\Gamma_L|}{\sqrt{1 - |\Gamma_L|^2}} = -0.379$$

$$(\varphi + 2\theta) = \begin{cases} +100.72^\circ \\ -100.72^\circ \end{cases} \quad \theta = \begin{cases} 116.8^\circ \\ 16.1^\circ \end{cases}$$

$$\text{Im}[y_L(\theta)] = \begin{cases} -0.379 \\ +0.379 \end{cases} \quad \theta_{sp} = \begin{cases} 159.3^\circ \\ 20.7^\circ \end{cases}$$

# Proiectare etaje cascade



- Calcul castig
  - adaptarea inter-etaje poate aduce un supliment de castig la ambele etaje de amplificare
  - Proiectarea pentru etajele de intrare si iesire e recomandabil sa se faca pe schema mai simpla cu un singur tranzistor

# Proiectare etaje cascade

- Castig

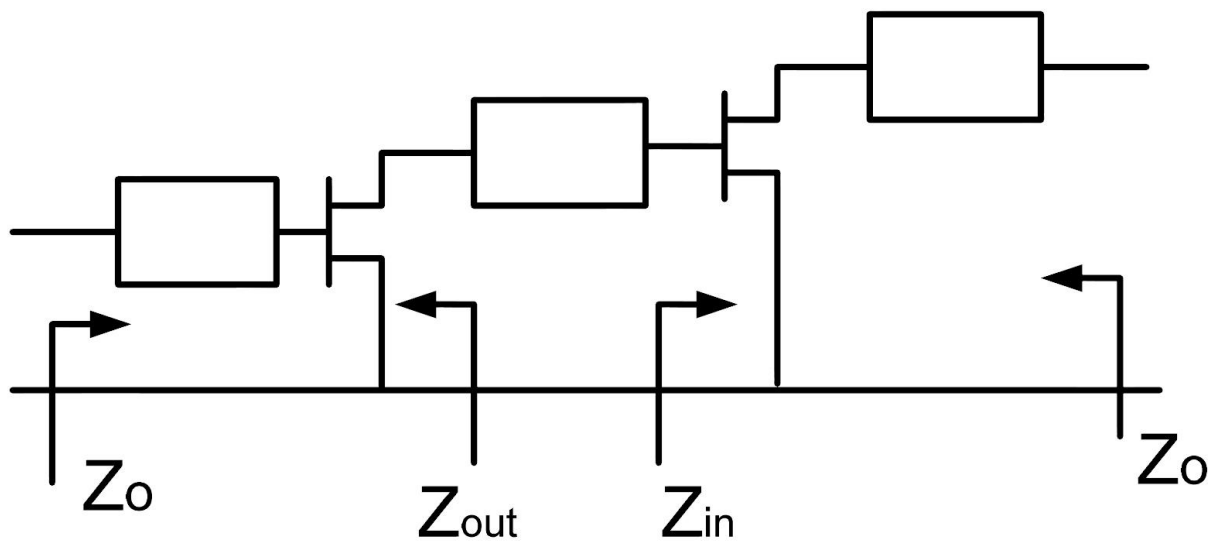
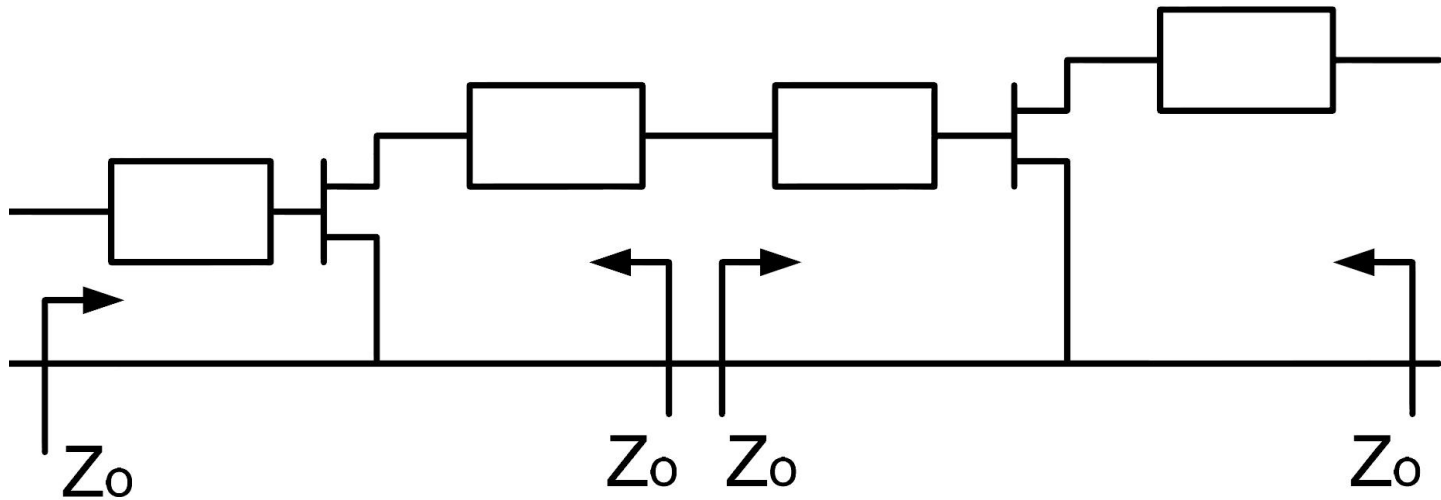
$$G_T [dB] = G_{S1} [dB] + G_0 [dB] + G_{L1} [dB] + G_{S2} [dB] + G_0 [dB] + G_{L2} [dB]$$

$$G_T [dB] = 1 \text{ dB} + 10 \text{ dB} + G_{L1} [dB] + G_{S2} [dB] + 10 \text{ dB} + 0.2 \text{ dB}$$

$$G_T [dB] = 21.2 \text{ dB} + G_{L1} [dB] + G_{S2} [dB]$$

- Prin proiectarea interetaje trebuie obtinut un castig de minim 0.8dB prin adaptare mai buna a primului etaj la iesire si a celui de-al doilea la intrare

# Adaptare inter-etaje

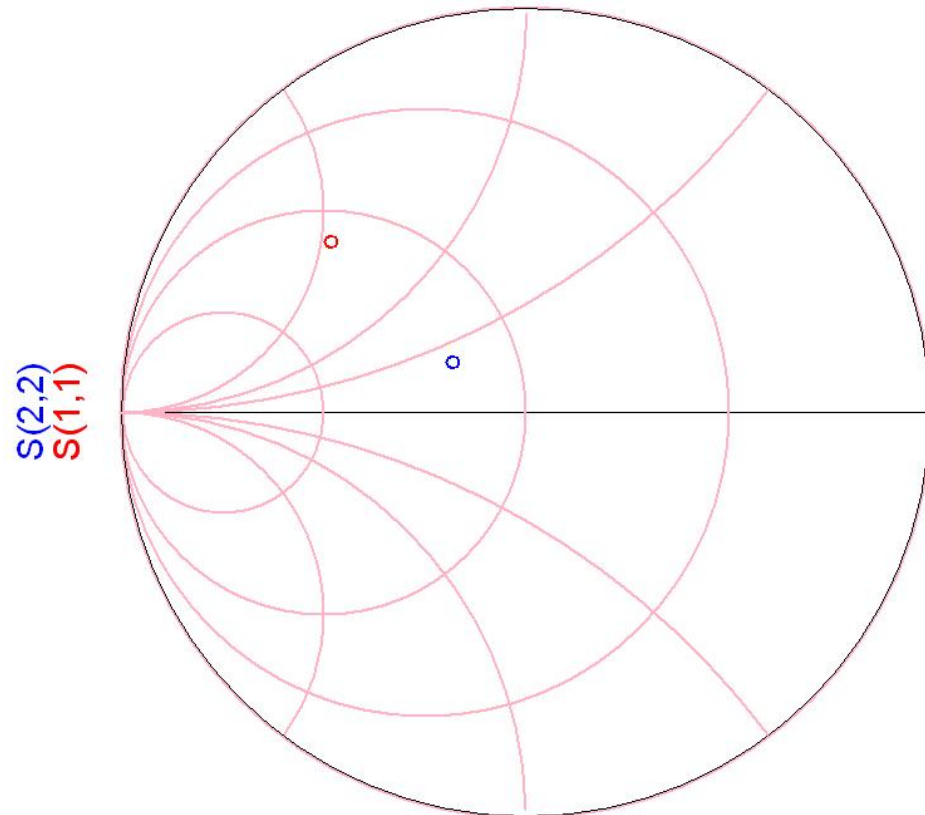
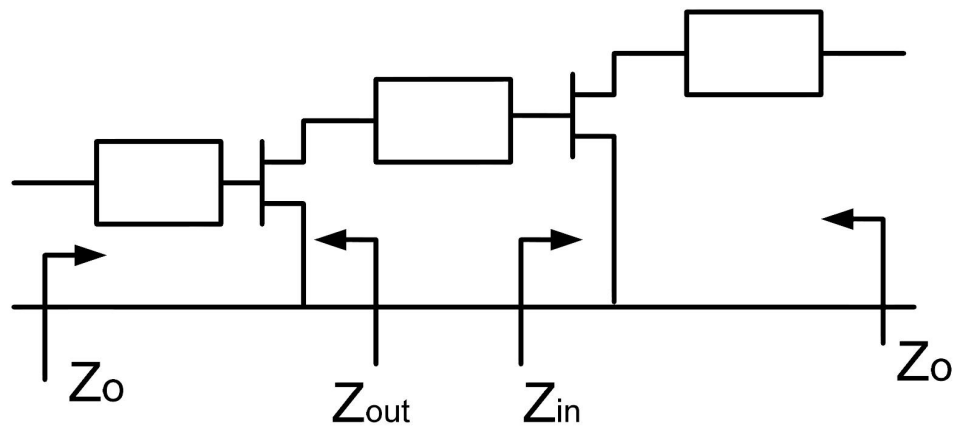


# Adaptare inter-etaje

- Se poate face in doua moduri:
  - plecand de la iesirea primului etaj (coeficient de reflexie  $S_{22}$ ) spre cercurile (desenate pentru etajul al doilea) de:
    - stabilitate
    - castig
    - zgomot
  - plecand de la intrarea celui de-al doilea etaj (coeficient de reflexie  $S_{11}$ ) spre cercurile (desenate pentru primul etaj) de:
    - stabilitate
    - castig
- Prima varianta are avantajul de a controla zgomotul introdus de al doilea etaj

# Adaptare inter-etaje

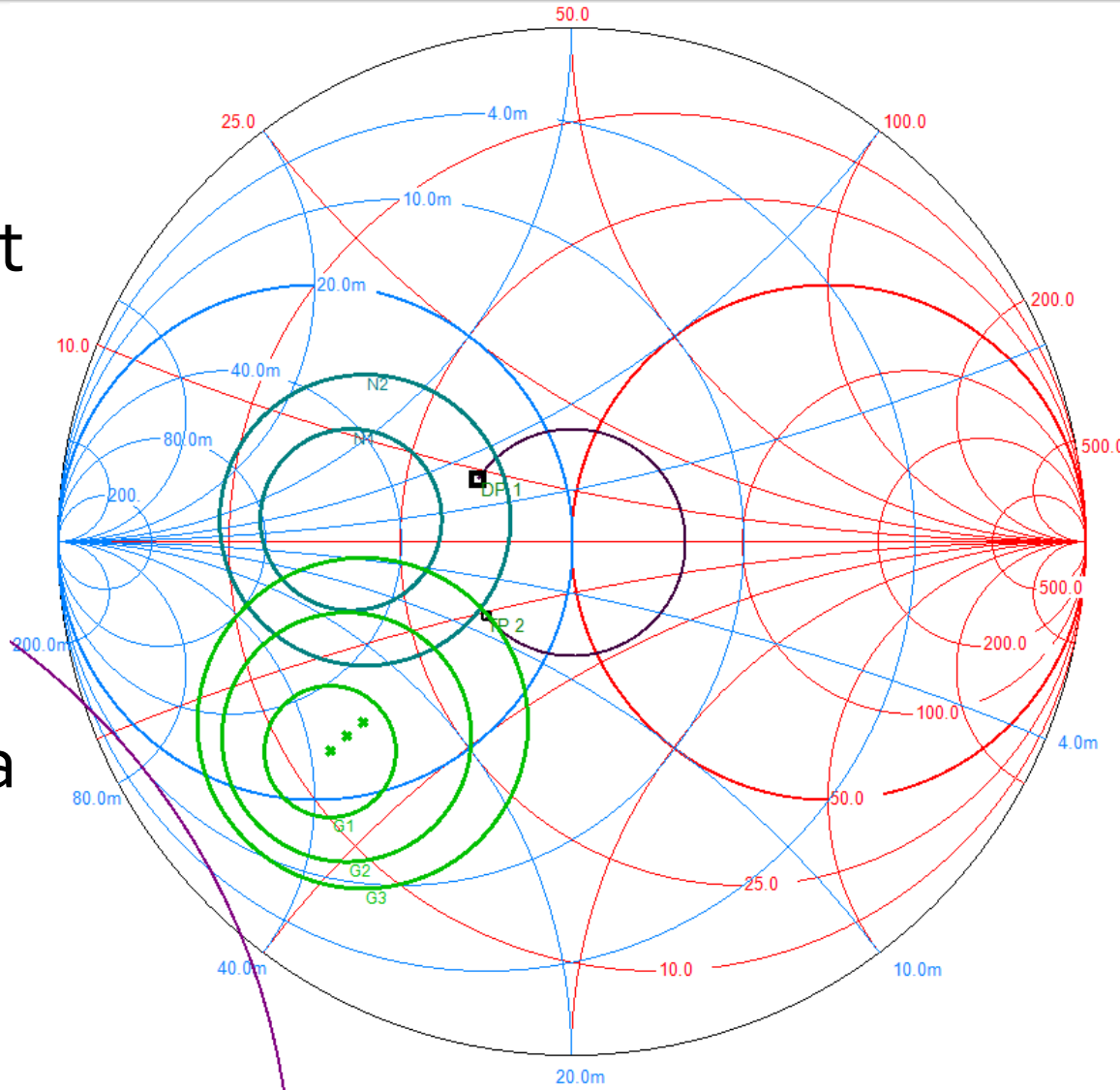
- O singura linie de transmisie pastreaza modulul coeficientului de reflexie



freq (5.000GHz to 5.000GHz)

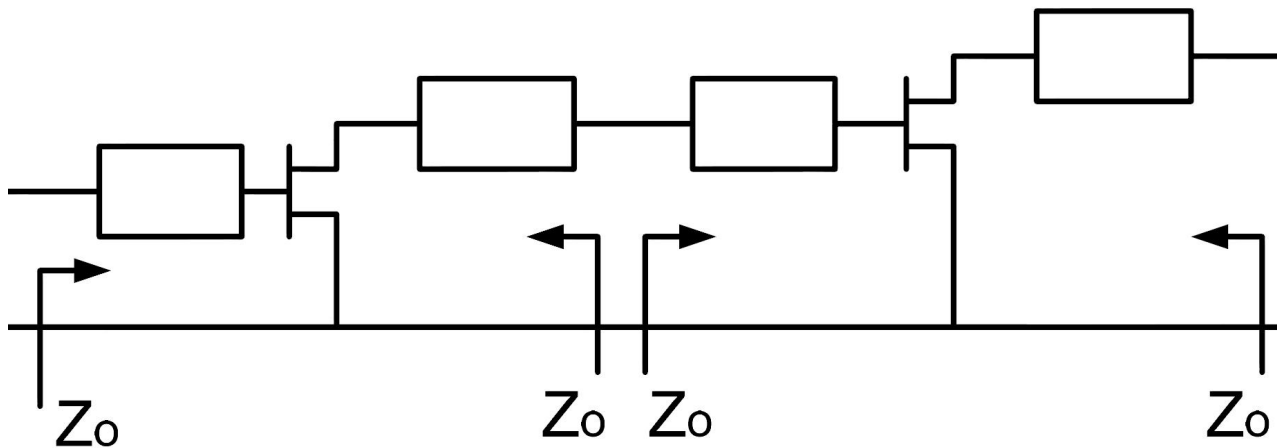
# Adaptare inter-etaje

- O singura linie de transmisie permite atingerea unui punct care nu poate fi optimizat
  - $G_{L1} = 0.2 \text{ dB}$
  - $G_{S2} = 1 \text{ dB}$
  - $F_2 = 0.7 \text{ dB}$
- Elimina posibilitatea de reglaj pentru controlul in banda larga a amplificarii



# Adaptare inter-etaje

- Utilizarea mai multor linii de transmisie pentru adaptarea la un punct intermediar cu coeficient de reflexie  $\Gamma=0$  permite controlul in detaliu al punctului final





# Calcul analitic

- $G_{L1}$  (plecare din  $S_{22}$  spre origine)

$$S_{22} = 0.22 \angle 146^\circ$$

$$|S_{22}| = 0.22; \quad \varphi = 146^\circ$$

$$\cos(\varphi + 2\theta) = -|S_{22}|$$

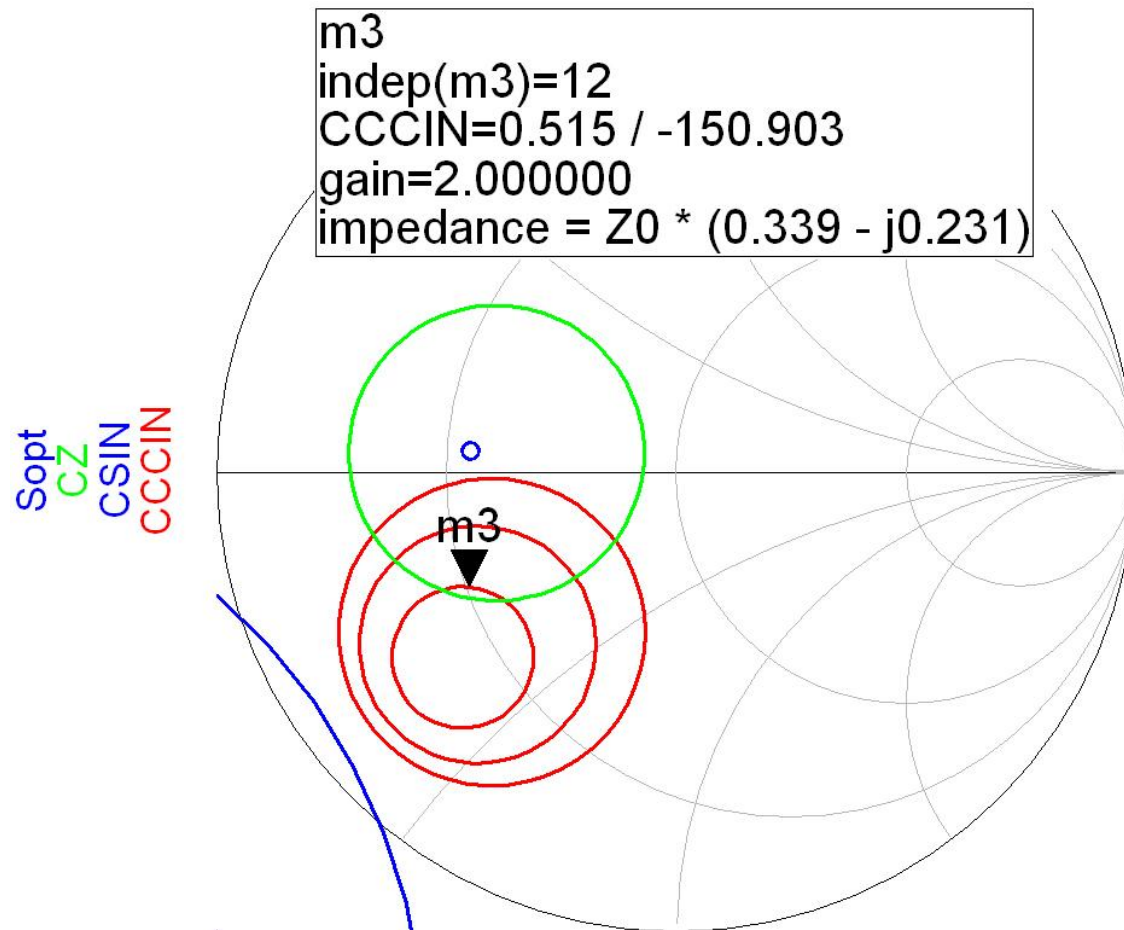
$$\text{Im}[y_{L1}(\theta)] = \frac{\mp 2 \cdot |S_{22}|}{\sqrt{1 - |S_{22}|^2}}$$

$$\cos(\varphi + 2\theta) = -0.22 \Rightarrow \quad (\varphi + 2\theta) = \pm 102.71^\circ$$

$$(\varphi + 2\theta) = \begin{cases} +102.71^\circ \\ -102.71^\circ \end{cases} \quad \theta = \begin{cases} 158.4^\circ \\ 55.6^\circ \end{cases} \quad \text{Im}[y_{L1}(\theta)] = \begin{cases} -0.451 \\ +0.451 \end{cases} \quad \theta_{sp} = \begin{cases} 155.7^\circ \\ 24.3^\circ \end{cases}$$

# Calcul analitic

- $G_{S_2}$  (plecare din  $\Gamma_{S_2}$  ales spre origine – castig 2dB)



# Calcul analitic

- $G_{S_2}$  (plecare din 2 spre origine)

$$\Gamma_{S_2} = 0.515 \angle -150.9^\circ$$

$$|\Gamma_{S_2}| = 0.515; \quad \varphi = -150.9^\circ$$

$$\cos(\varphi + 2\theta) = -|\Gamma_{S_2}|$$

$$\text{Im}[y_{S_2}(\theta)] = \frac{\mp 2 \cdot |\Gamma_{S_2}|}{\sqrt{1 - |\Gamma_{S_2}|^2}}$$

$$\cos(\varphi + 2\theta) = -0.515 \Rightarrow \quad (\varphi + 2\theta) = \pm 121^\circ$$

$$(\varphi + 2\theta) = \begin{cases} +121^\circ \\ -121^\circ \end{cases} \quad \theta = \begin{cases} 135.9^\circ \\ 15^\circ \end{cases} \quad \text{Im}[y_{S_2}(\theta)] = \begin{cases} -1.202 \\ +1.202 \end{cases} \quad \theta_{sp} = \begin{cases} 129.8^\circ \\ 50.2^\circ \end{cases}$$

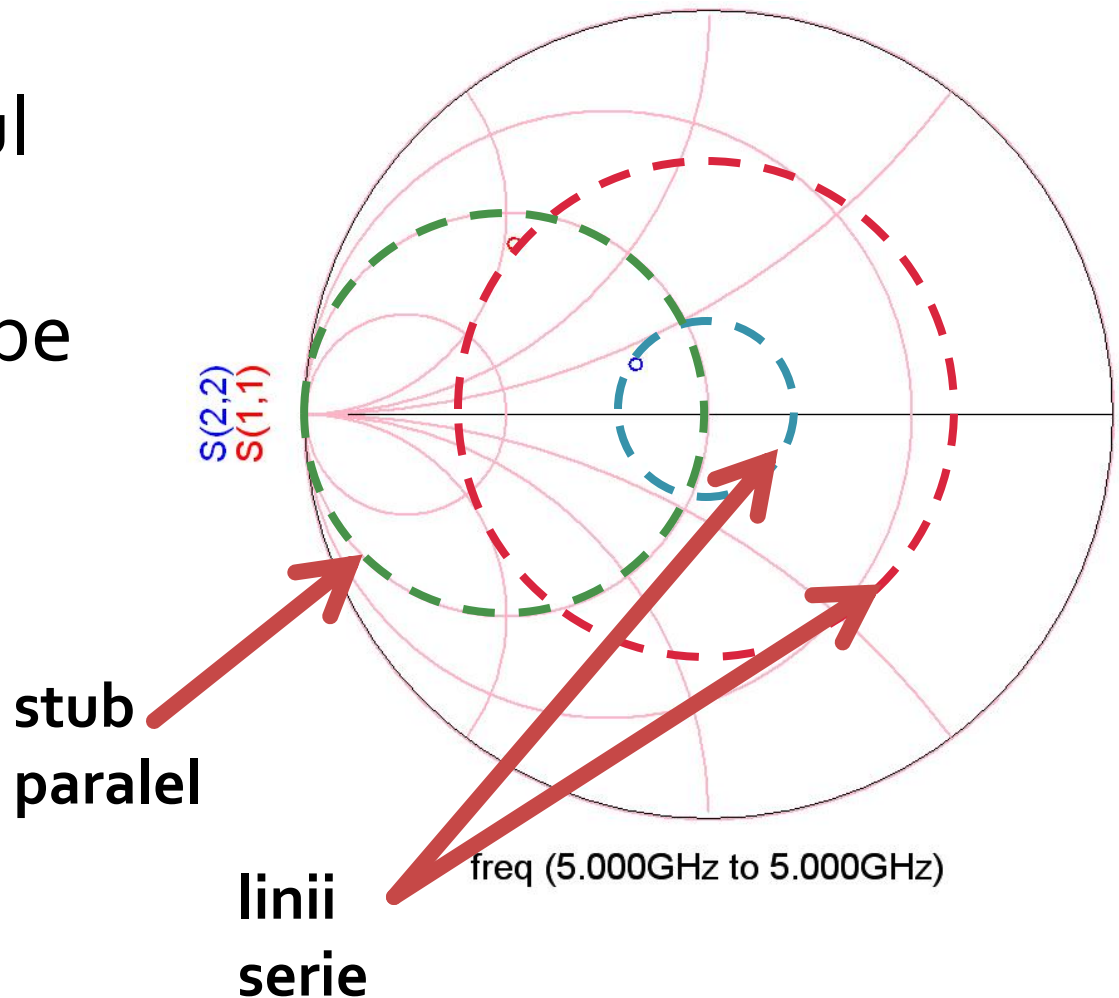
# Calcul analitic

- Cele doua stub-uri in gol se combina intr-unul singur
- Exista **4 combinatii posibile** in functie de cum se combina lungimile electrice ale celor doua linii serie
  - pentru fiecare lungime electrica aleasa ( $\theta$ ) se foloseste obligatoriu  $\text{Im}[y(\theta)]$  corespunzator
- Ex:

$$\theta_{L1} = 158.4^\circ \quad \theta_{S2} = 135.9^\circ \quad \text{Im}[y_{sp}] = \text{Im}[y_{L1}(\theta)] + \text{Im}[y_{S2}(\theta)] = -1.653$$
$$\theta_{sp} = \tan^{-1}(\text{Im}[y_{sp}]) \quad \theta_{sp} = 121.2^\circ$$

# Diagrama Smith

- linie serie  $\rightarrow$  pe cercul cu centrul in originea DS
- stub paralel  $\rightarrow$  pe cercul  $g=1$



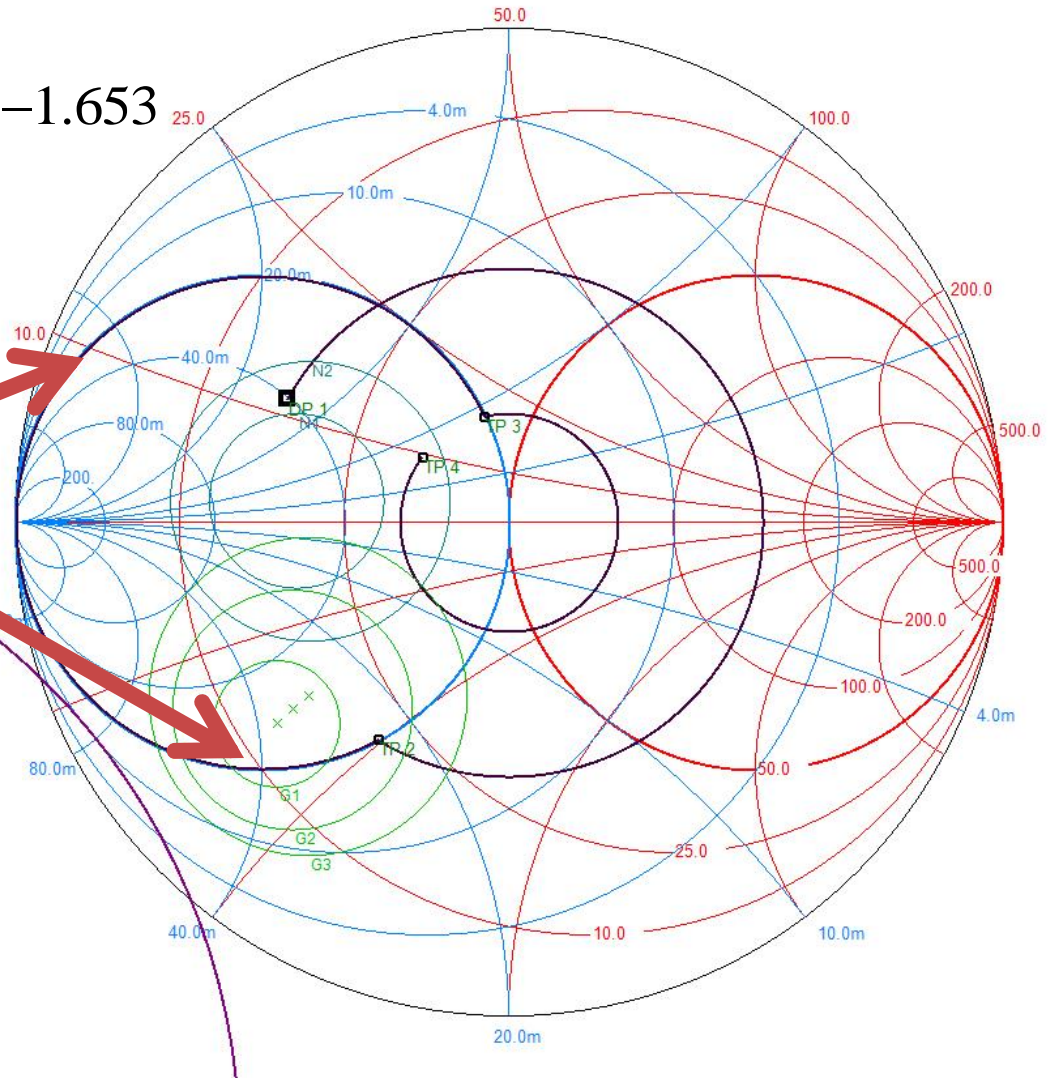
# Diagrama Smith 1

$$\theta_{L1} = 158.4^\circ \quad \theta_{S2} = 135.9^\circ$$

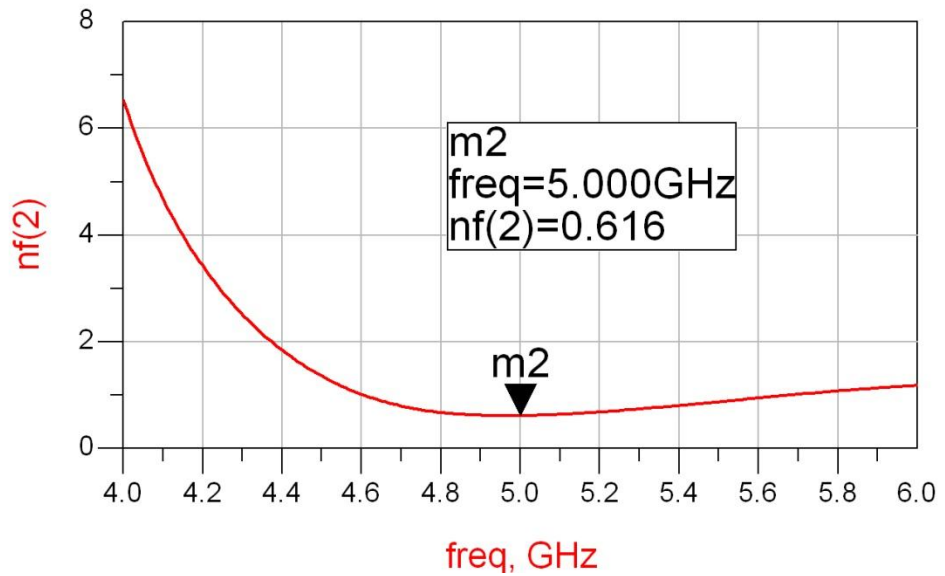
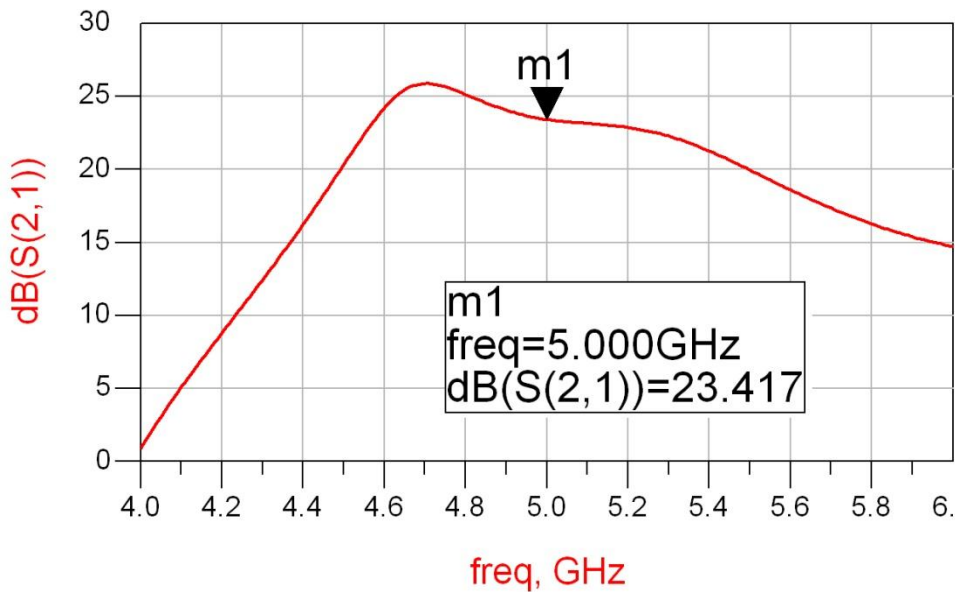
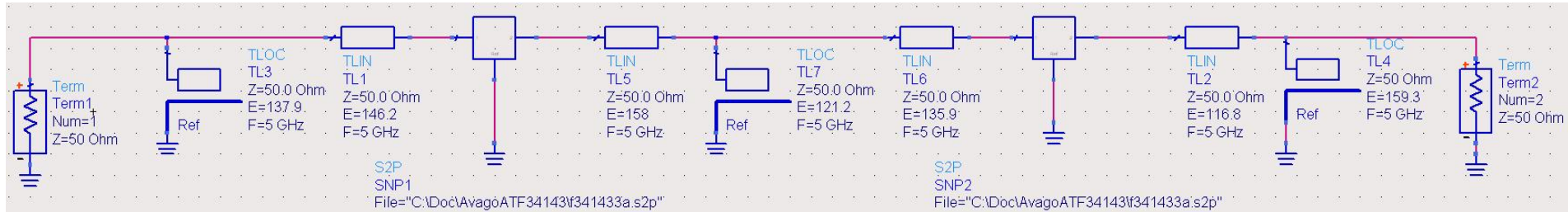
$$\text{Im}[y_{sp}] = \text{Im}[y_{L1}(\theta)] + \text{Im}[y_{S2}(\theta)] = -1.653$$

$$\theta_{sp} = 121.2^\circ$$

stub  
"combinat"



# ADS 1



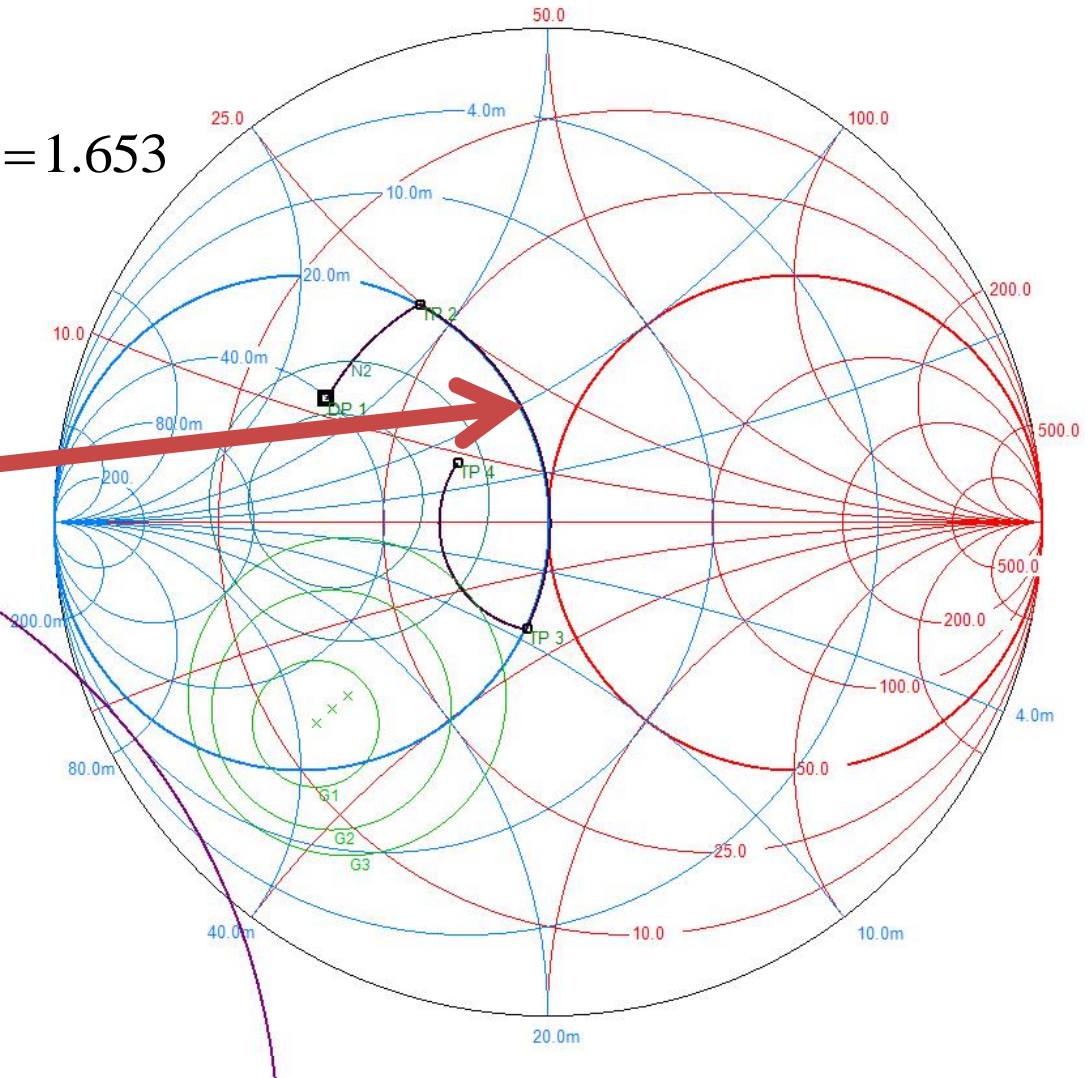
# Diagrama Smith 2

$$\theta_{L1} = 55.6^\circ \quad \theta_{S2} = 15^\circ$$

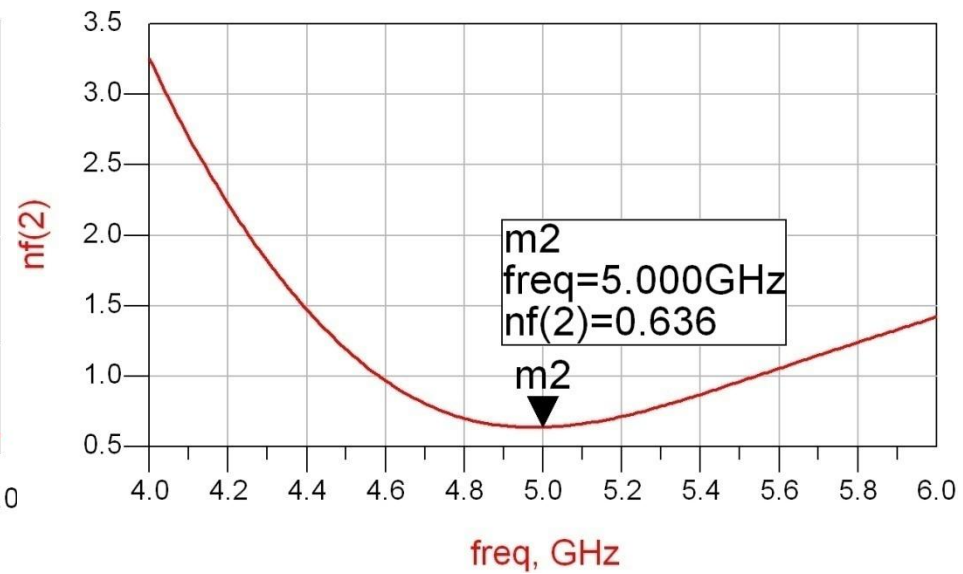
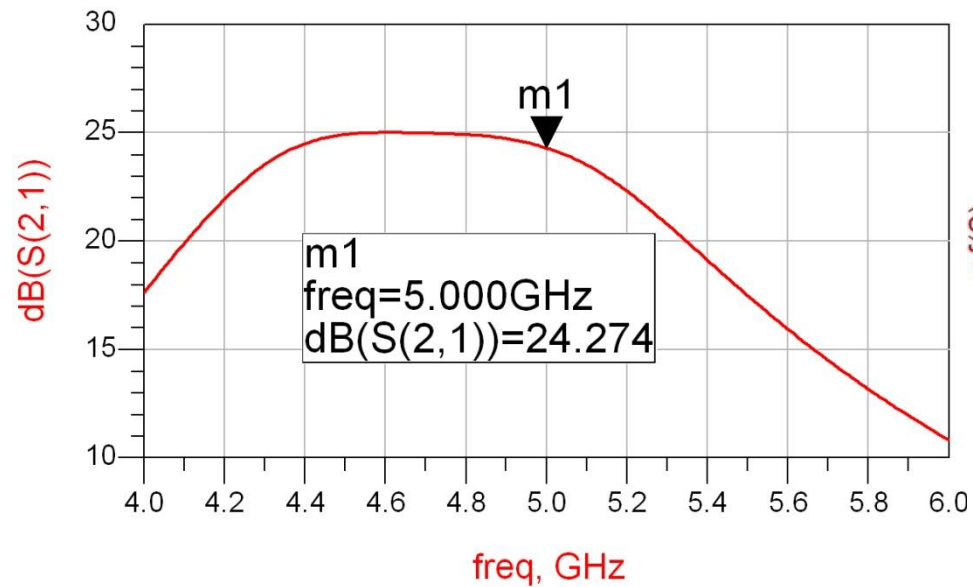
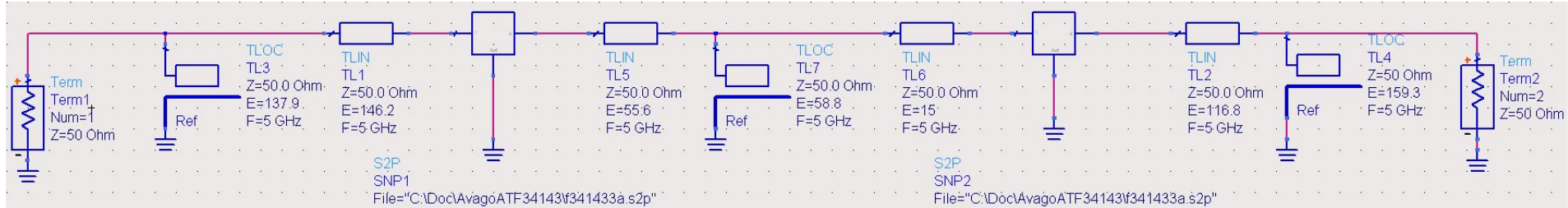
$$\text{Im}[y_{sp}] = \text{Im}[y_{L1}(\theta)] + \text{Im}[y_{S2}(\theta)] = 1.653$$

$$\theta_{sp} = 58.8^\circ$$

stub  
"combinat"



# ADS 2



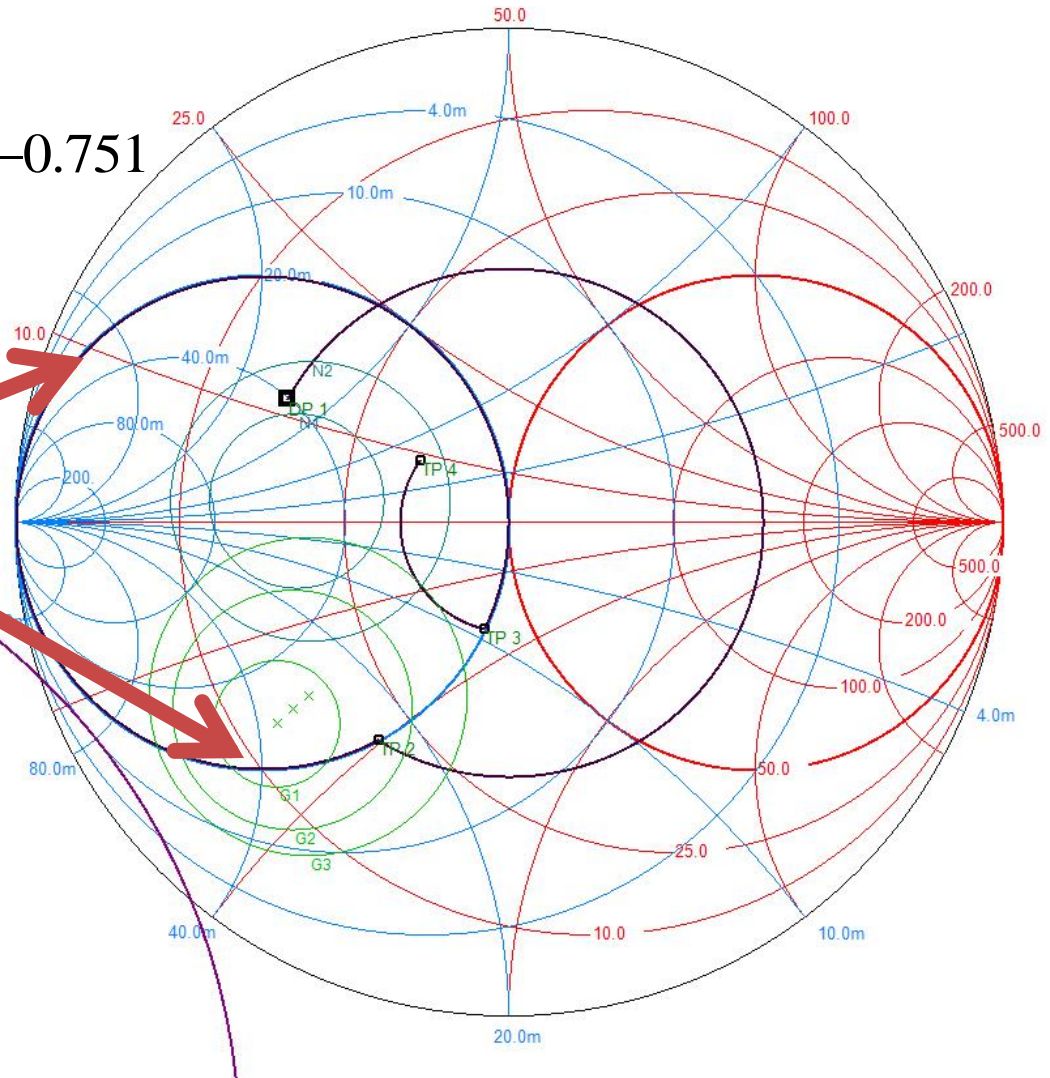
# Diagrama Smith 3

$$\theta_{L1} = 55.6^\circ \quad \theta_{S2} = 135.9^\circ$$

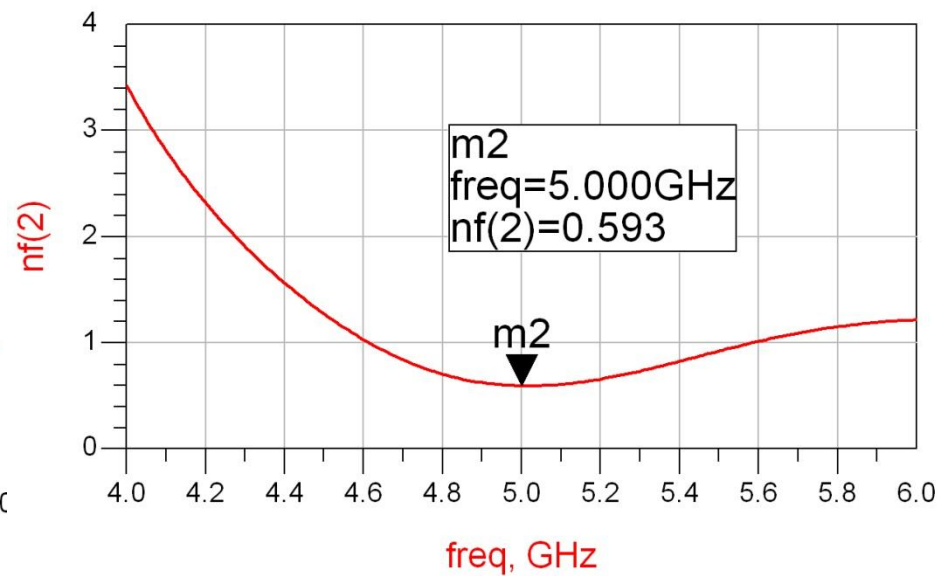
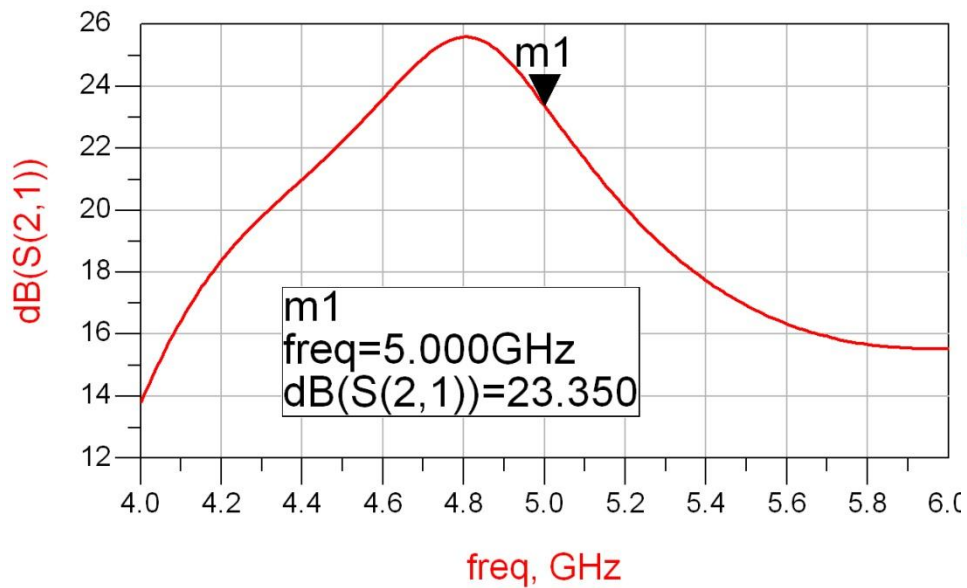
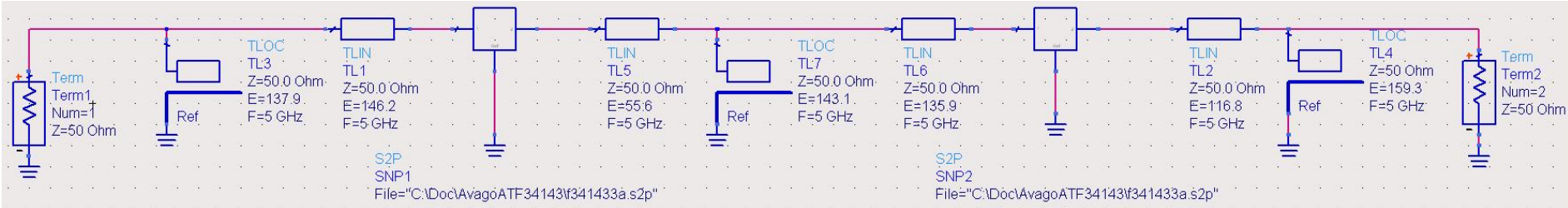
$$\text{Im}[y_{sp}] = \text{Im}[y_{L1}(\theta)] + \text{Im}[y_{S2}(\theta)] = -0.751$$

$$\theta_{sp} = 143.1^\circ$$

stub  
"combinat"



# ADS 3



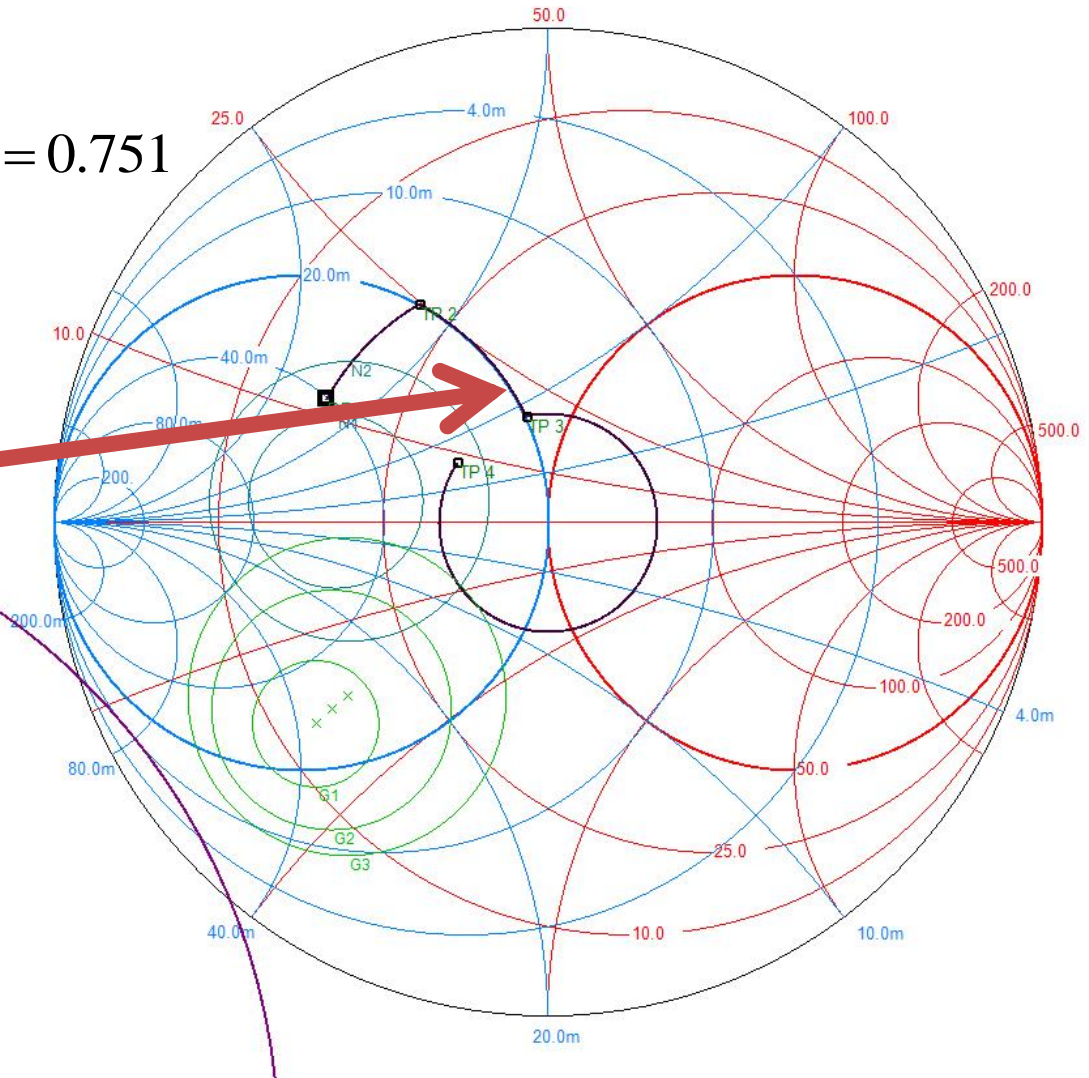
# Diagrama Smith 4

$$\theta_{L1} = 158.4^\circ \quad \theta_{S2} = 15^\circ$$

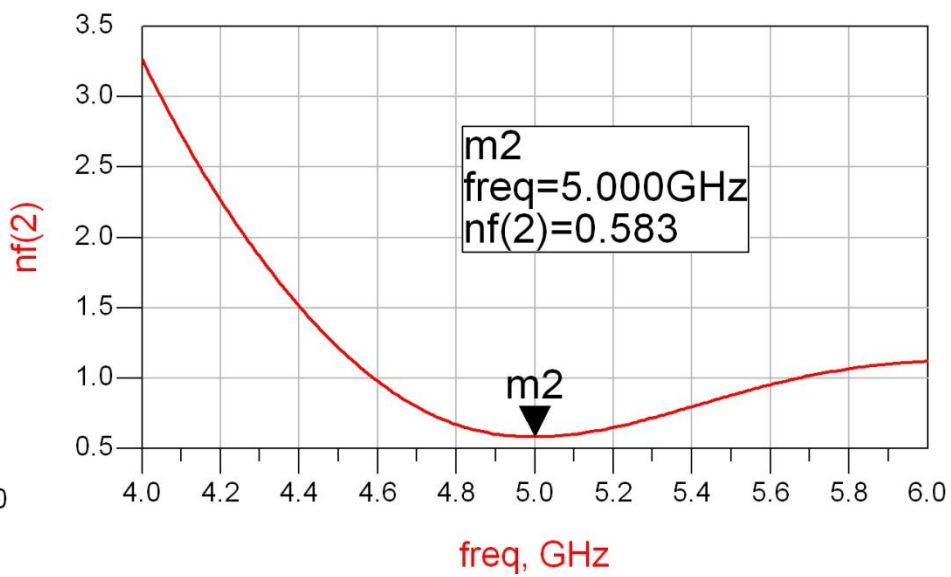
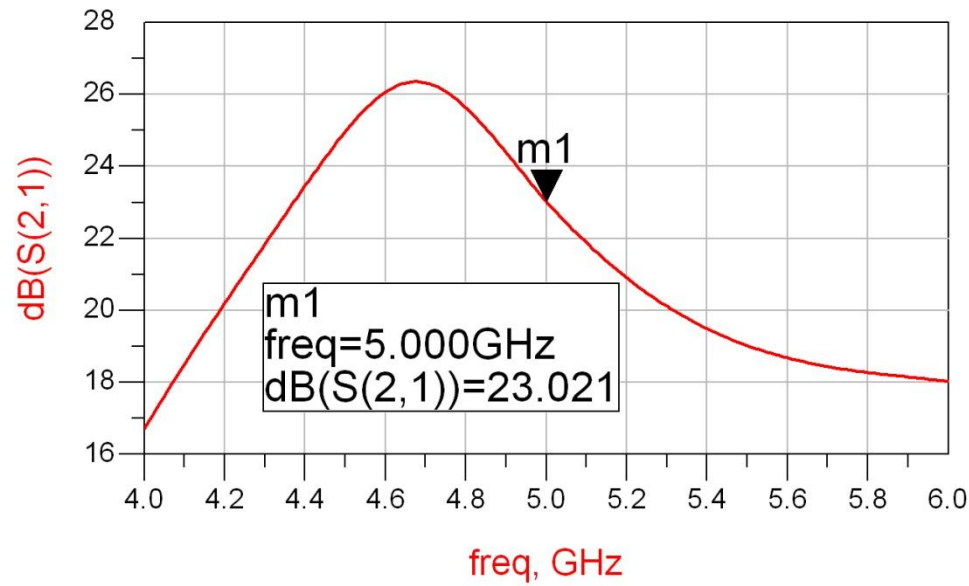
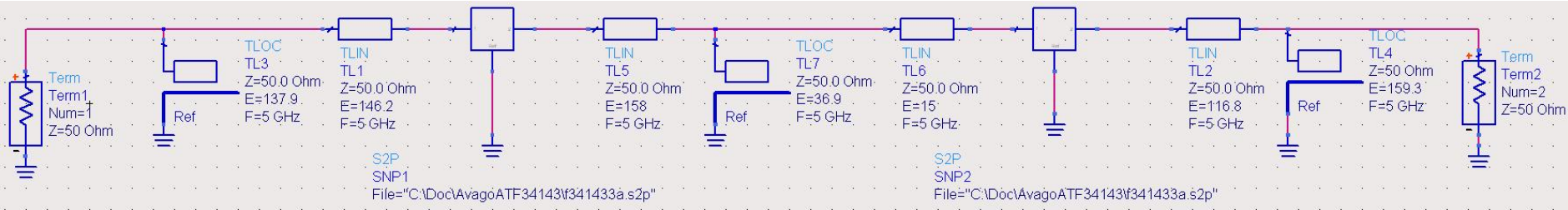
$$\text{Im}[y_{sp}] = \text{Im}[y_{L1}(\theta)] + \text{Im}[y_{S2}(\theta)] = 0.751$$

$$\theta_{sp} = 36.9^\circ$$

stub  
"combinat"



# ADS 4



# Adaptare inter-etaje

- Toate variantele obtinute indeplinesc conditiile de castig si zgomot
- Se alege una convenabila in functie de:
  - dimensiunile fizice ale liniilor  $l = \frac{\theta}{360^\circ} \cdot \lambda$
  - comportare in frecventa
  - stabilitate
  - performanta (zgomot/castig)
  - reflexie intrare iesire
  - etc.

Amplificatoare de banda larga

# Amplificatoare de microunde

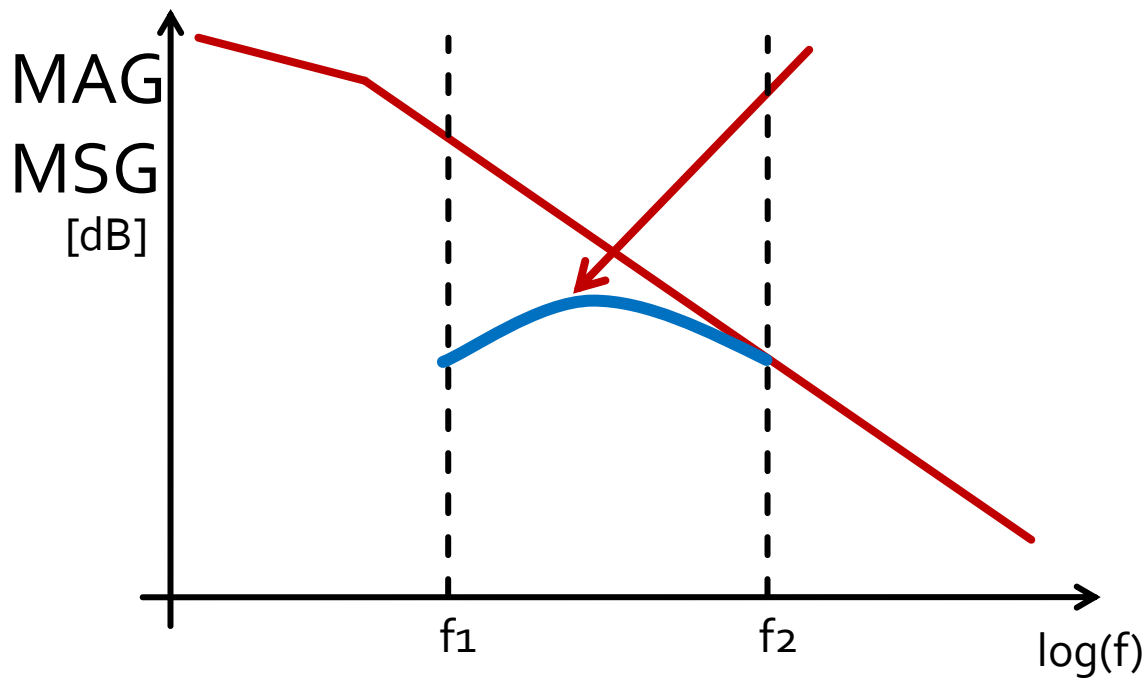
---

# Amplificatoare de banda larga

- Se pot obtine prin un numar de tehnici de proiectare
  1. **Rețele de adaptare care sa compenseze scaderea castigului cu frecventa**
  2. Rețele de adaptare rezistive
  3. Reactie negativa
  4. Amplificatoare echilibrate
  5. Amplificatoare distribuite
  6. Amplificatoare diferentiale

# Amplificatoare de banda larga

1. **Rețele de adaptare care sa compenseze scaderea castigului cu frecventa**
  - Metoda utilizata este de a repeta proiectarea la mai multe (macar 2) frecvente si impunerea unui castig egal la acestea



# Supliment Mini Proiect

---

# Implementare cu linii microstrip

- linii microstrip
  - strat dielectric
  - metalizare totala (plan de masa)
  - trasee care fixeaza
    - impedanta caracteristica
    - lungime fizica/electrica

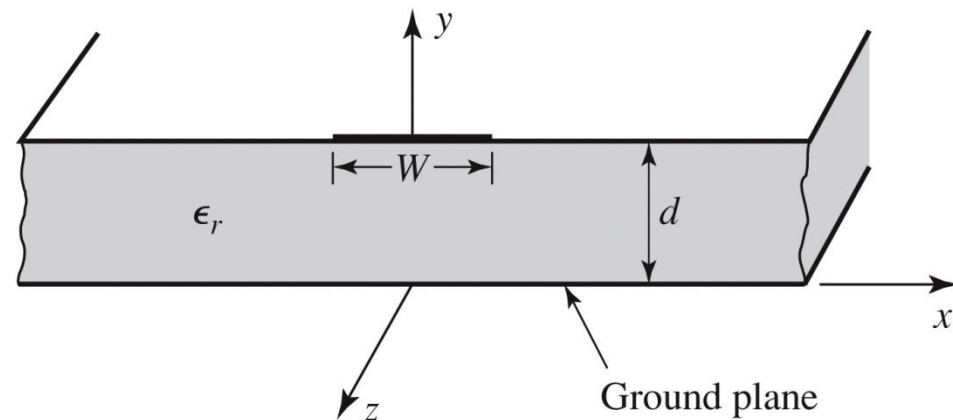


Figure 3.25a  
© John Wiley & Sons, Inc. All rights reserved.

# Implementare cu linii microstrip

- Linie quasi TEM

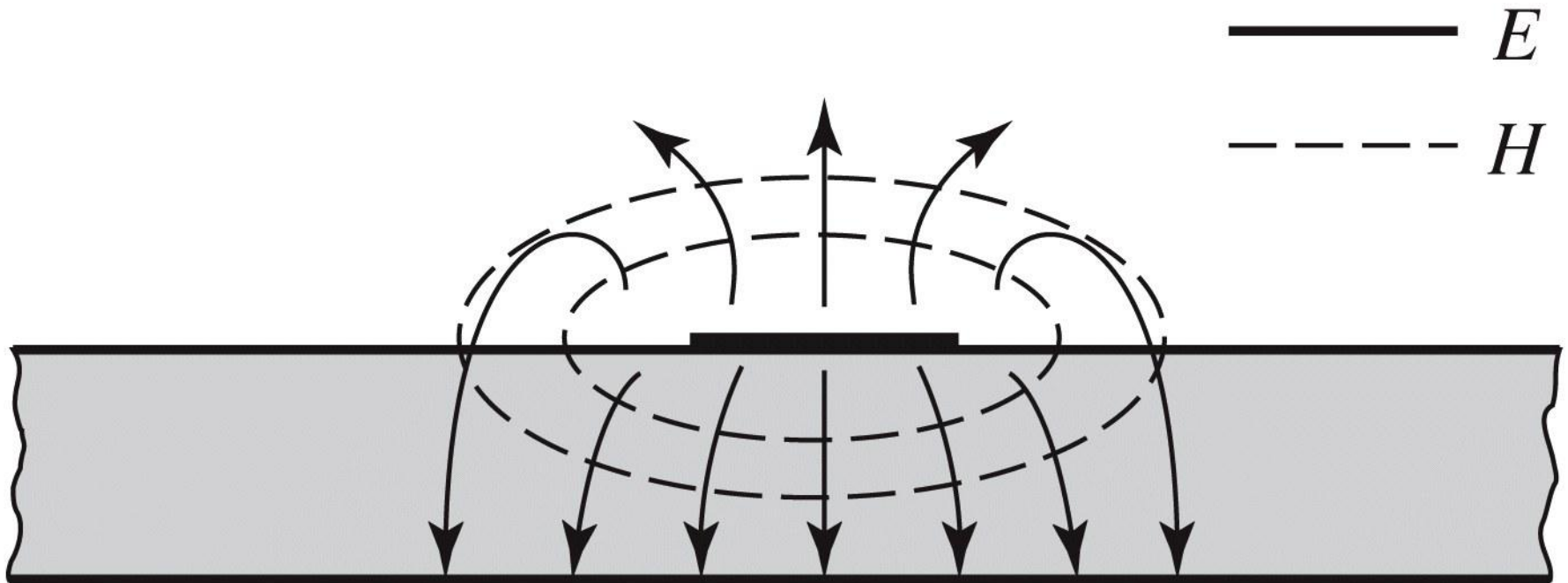
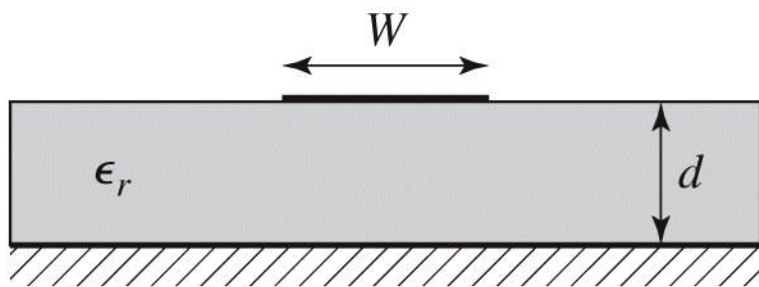


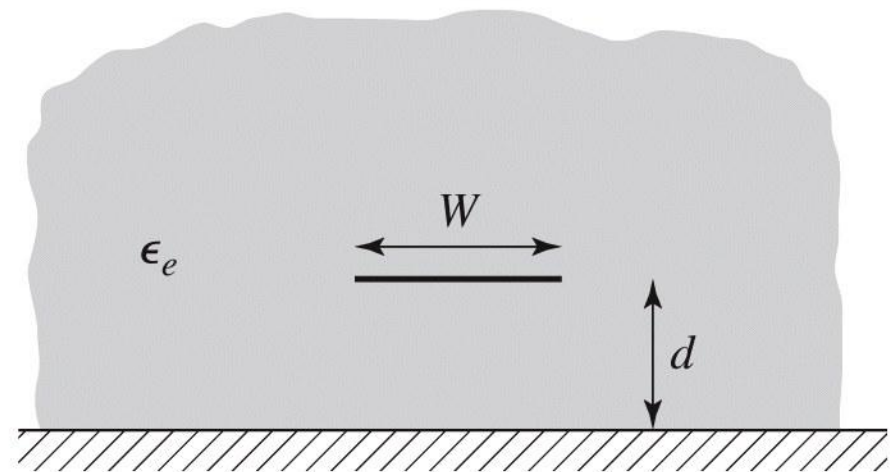
Figure 3.25b  
© John Wiley & Sons, Inc. All rights reserved.

# Implementare cu linii microstrip

- Se echivaleaza linia cu o linie cu dielectric omogen echivalent



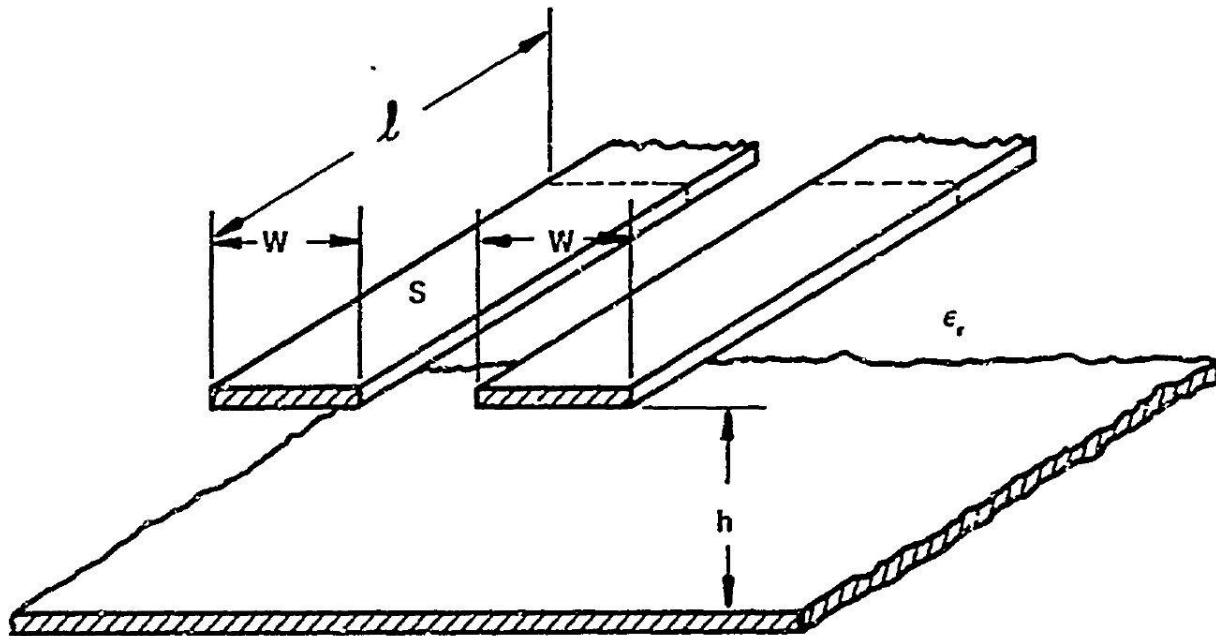
(a)



(b)

# Implementare cu linii microstrip

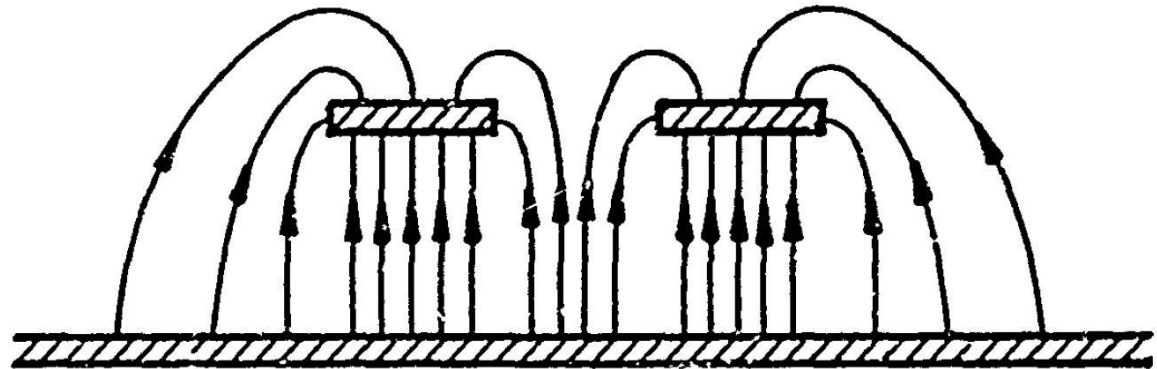
- ~ Aproximativ TEM



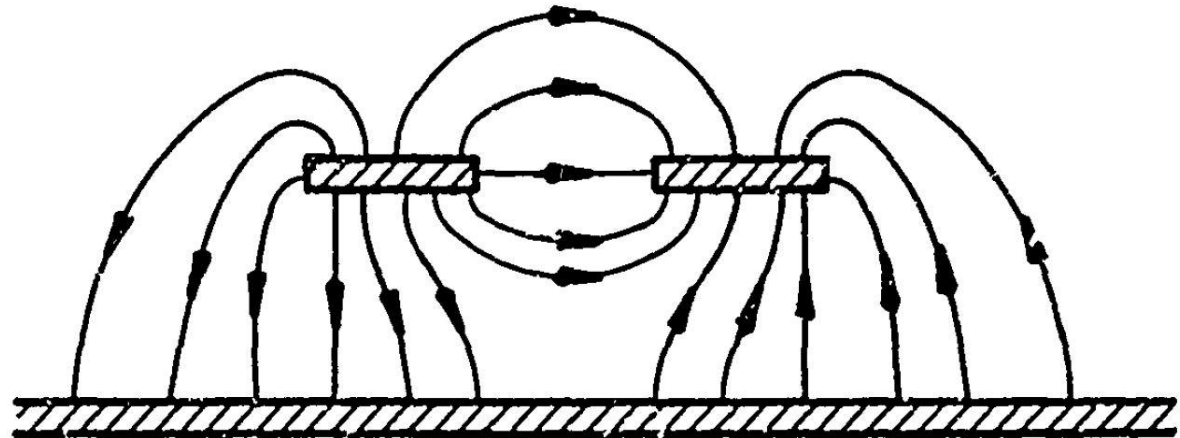
a) COUPLED STRIP GEOMETRY

# Implementare cu linii microstrip

- ~ Aproximativ TEM



b) EVEN MODE ELECTRIC FIELD PATTERN (SCHEMATIC)



c) ODD MODE ELECTRIC FIELD PATTERN (SCHEMATIC)

# Calcul

## ■ Calcul empiric

$$v_p = \frac{c}{\sqrt{\epsilon_e}},$$

$$\beta = k_0 \sqrt{\epsilon_e},$$

$$\epsilon_e = \frac{\epsilon_r + 1}{2} + \frac{\epsilon_r - 1}{2} \frac{1}{\sqrt{1 + 12d/W}}.$$

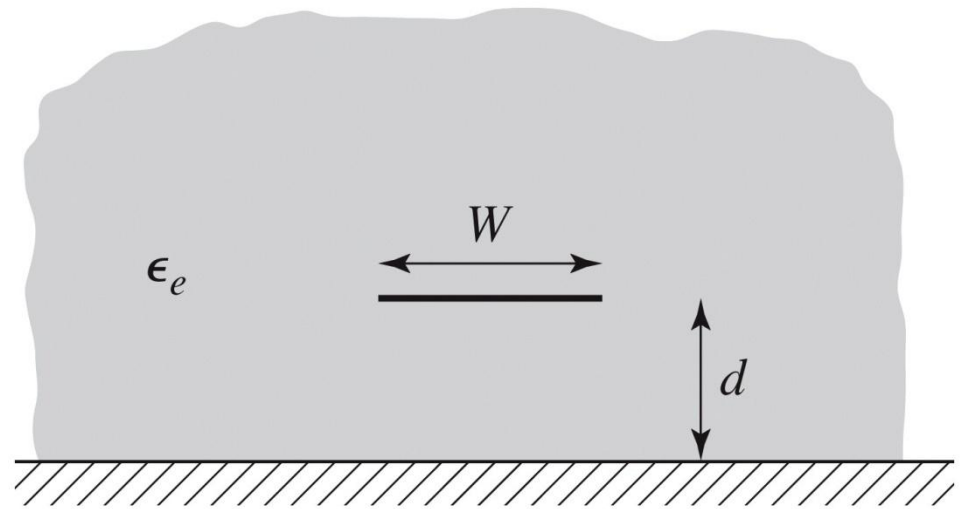


Figure 3.26b  
© John Wiley & Sons, Inc. All rights reserved.

$$Z_0 = \begin{cases} \frac{60}{\sqrt{\epsilon_e}} \ln \left( \frac{8d}{W} + \frac{W}{4d} \right) & \text{for } W/d \leq 1 \\ \frac{120\pi}{\sqrt{\epsilon_e} [W/d + 1.393 + 0.667 \ln (W/d + 1.444)]} & \text{for } W/d \geq 1. \end{cases}$$

# Calcul

- Calcul empiric

$$A = \frac{Z_0}{60} \sqrt{\frac{\epsilon_r + 1}{2}} + \frac{\epsilon_r - 1}{\epsilon_r + 1} \left( 0.23 + \frac{0.11}{\epsilon_r} \right)$$

$$B = \frac{377\pi}{2Z_0\sqrt{\epsilon_r}}$$

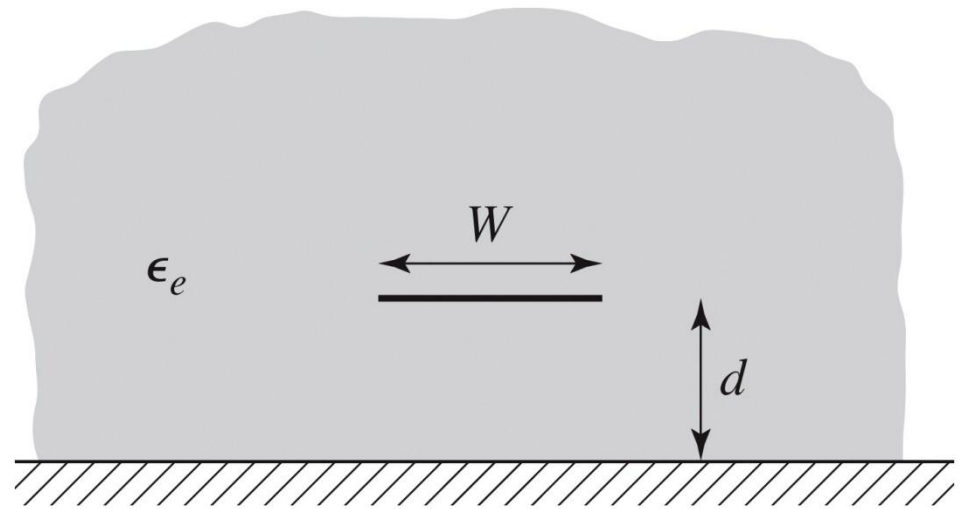
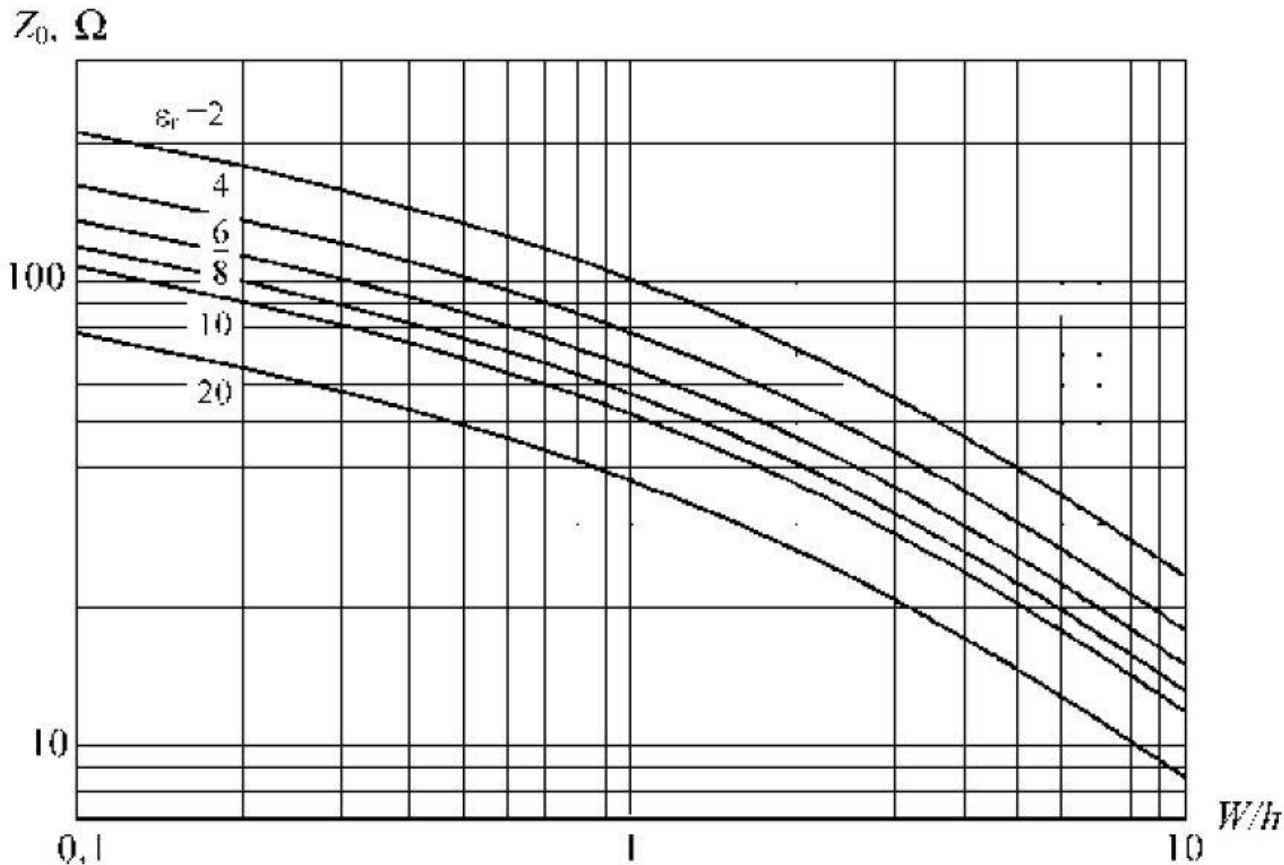


Figure 3.26b  
© John Wiley & Sons, Inc. All rights reserved.

$$\frac{W}{d} = \begin{cases} \frac{8e^A}{e^{2A} - 2} & \text{for } W/d < 2 \\ \frac{2}{\pi} \left[ B - 1 - \ln(2B - 1) + \frac{\epsilon_r - 1}{2\epsilon_r} \left\{ \ln(B - 1) + 0.39 - \frac{0.61}{\epsilon_r} \right\} \right] & \text{for } W/d > 2, \end{cases}$$

# Impedanta caracteristica

- Pentru impedante mari e nevoie de latimi mici ale traseelor
- Pentru impedante mici e nevoie de latimi mari ale traseelor



$$k_0 = \frac{2\pi f}{c}$$
$$\beta l = \sqrt{\epsilon_e} k_0 l,$$

# Microstrip standardizare

- Standardizare
  - dimensiuni in **mil**
  - 1 mil =  $10^{-3}$  inch
  - 1 inch = 2.54 cm
- Inaltimea conductoarelor
  - in functie de greutatea cuprului
  - uncii / picioare pătrate (oz/ft<sup>2</sup>)
  - 10z=28.35g și 1ft=30.48cm

Greutatea cuprului depus		Grosimea stratului	
oz/ft <sup>2</sup>	g/ft <sup>2</sup>	inch	mm
0.5	14.175	0.0007	0.0178
1.0	28.35	0.0014	0.0356
2.0	56.7	0.0028	0.0712

# Microstrip standardizare

- Tipic inaltimea straturilor de dielectric de asemenea standardizat in mil

Standard Thickness

## **RO4003C:**

0.008" (0.203mm), 0.012 (0.305mm), 0.016" (0.406mm),  
0.020" (0.508mm)

0.032" (0.813mm), 0.060" (1.524mm)

## **RO4350B:**

\*0.004" (0.101mm), 0.0066" (0.168mm) 0.010" (0.254mm),  
0.0133 (0.338mm), 0.0166 (0.422mm), 0.020" (0.508mm)

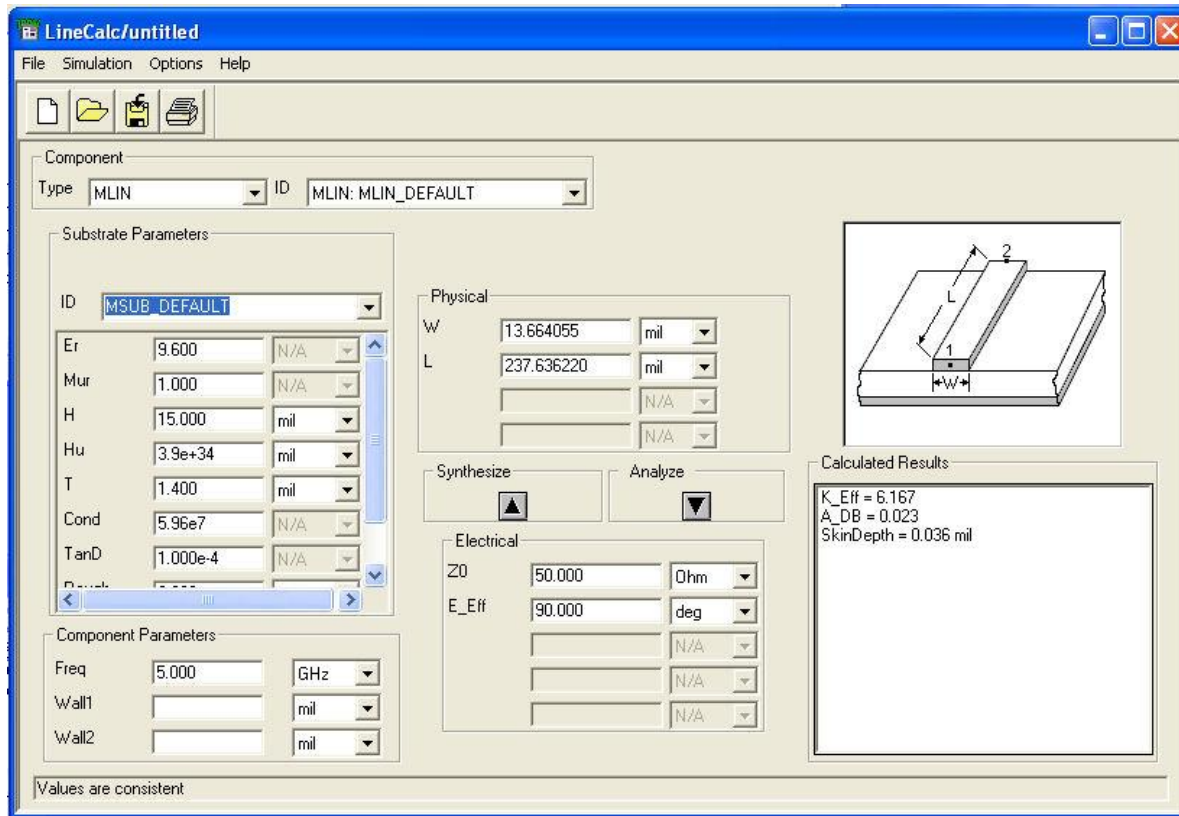
0.030" (0.762mm), 0.060" (1.524mm)

# Microstrip, materiale substrat

Material	Constanta dielectrică relativă	Factorul de pierderi dielectrice	Conductivitate termică	Coefficient linear de expansiune	Coefficient de temperatură a lui $\epsilon_r$
Material	-	-	W/cm/K	ppm/K	ppm/K
Al <sub>2</sub> O <sub>3</sub> (99.5%)	9.8	0.0001	0.37	6.3	+136
Al <sub>2</sub> O <sub>3</sub> (96%)	9.4	0.001	0.35	6.4	-
Safir	9.4;11.6	0.0001	0.42	6.0	+110-+140
Sticlă quartz	3.78	0.0001	0.017	0.55	+13
Sticlă Corning 7059	5.75	0.0036	0.012	4.6	-
BeO Ceramic (98%)	6.3	0.006	2.1	6.1	+107
TiO <sub>2</sub>	85	0.004	0.05	7.5	-575
Tetratitanat de Ba (BaTi <sub>4</sub> O <sub>9</sub> )	37	0.0005	0.02	9.4	-26
Zirconat	20-40	0.002	-	5.0	-130-+100
GaAs	12.9	0.002	0.46	5.7	-
Si	11.9	0.015	1.45	4.2	-
Ferită	9-16	0.001	-	-	-

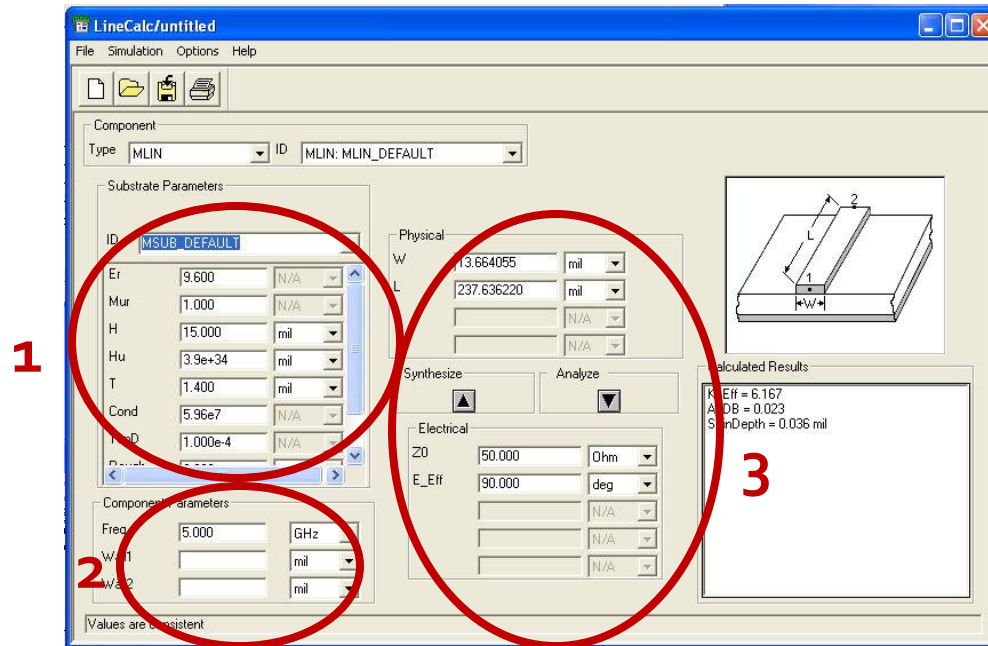
# ADS linecalc

- In scheme:
  - >Tools>LineCalc>Start
  - Pentru linii Microstrip >Tools>LineCalc>Send to Linecalc



# ADS linecalc

- 1. Definire (receptie din schema) substrat
- 2. Introducere frecventa
- 3. Introducere date de intrare
  - Analiza:  $W, L \rightarrow Z_0, E$  sau  $Z_e, Z_0, E / I$  a  $f$  [GHz]
  - Sinteza:  $Z_0, E \rightarrow W, L / I$  a  $f$  [GHz]



# ADS linecalc

- Se poate utiliza pentru:
  - linii microstrip MLIN:  $W, L \Leftrightarrow Z_0, E$
  - linii cuplate microstrip MCLIN:  $W, L \Leftrightarrow Z_e, Z_0, E$

The screenshot shows the ADS LineCalc window for an MLIN component. The component type is set to MLIN. The substrate parameters are MSUB\_DEFAULT. The physical parameters are W = 13.664055 mil and L = 237.636220 mil. The calculated results are K\_Eff = 6.167, A\_DB = 0.023, and SkinDepth = 0.036 mil. The electrical parameters are Z0 = 50.000 Ohm and E\_Eff = 90.000 deg. The component parameters are Freq = 5.000 GHz, Wall1 = mil, and Wall2 = mil.

Parameter	Value	Unit
W	13.664055	mil
L	237.636220	mil
Z0	50.000	Ohm
E_Eff	90.000	deg
K_Eff	6.167	
A_DB	0.023	
SkinDepth	0.036	mil

The screenshot shows the ADS LineCalc window for an MCLIN component. The component type is set to MCLIN. The substrate parameters are MSUB\_DEFAULT. The physical parameters are W = 12.681220 mil, S = 24.949376 mil, and L = 236.748031 mil. The calculated results are KE = 6.857, KO = 5.601, AE\_DB = 0.024, AD\_DB = 0.026, and SkinDepth = 0.036 mil. The electrical parameters are ZE = 55.110 Ohm, Z0 = 45.760 Ohm, Z0 = 50.217861 Ohm, C\_DB = -20.659008 N/A, and E\_Eff = 90.000 deg. The component parameters are Freq = 5.000 GHz, Wall1 = mil, and Wall2 = mil.

Parameter	Value	Unit
W	12.681220	mil
S	24.949376	mil
L	236.748031	mil
ZE	55.110	Ohm
Z0	45.760	Ohm
Z0	50.217861	Ohm
C_DB	-20.659008	N/A
E_Eff	90.000	deg
KE	6.857	
KO	5.601	
AE_DB	0.024	
AD_DB	0.026	
SkinDepth	0.036	mil

# ADS linecalc

LineCalc/untitled

File Simulation Options Help

Component

Type: MCLIN ID: MCLIN: MCLIN\_DEFAULT

Substrate Parameters

ID: MSUB\_DEFAULT

Er	9.600	N/A
Mur	1.000	N/A
H	15.000	mil
Hu	3.9e+34	mil
T	1.400	mil
Cond	5.96e7	N/A
TanD	1.000e-4	N/A

Physical

W: 12.681220 mil

S: 24.949370 mil

L: 236.748031 mil

Synthesize Analyze

Electrical

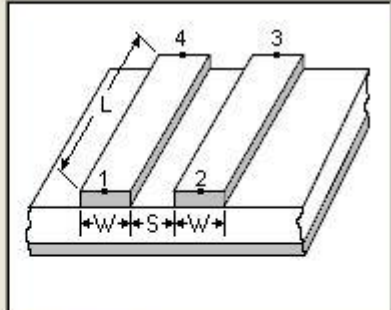
ZE: 55.110 Ohm

ZO: 45.760 Ohm

ZO: 50.217861 Ohm

C\_DB: -20.659008 N/A

E\_Eff: 90.000 deg



Calculated Results

KE = 6.857  
KO = 5.601  
AE\_DB = 0.024  
AD\_DB = 0.026  
SkinDepth = 0.036 mil

Values are consistent

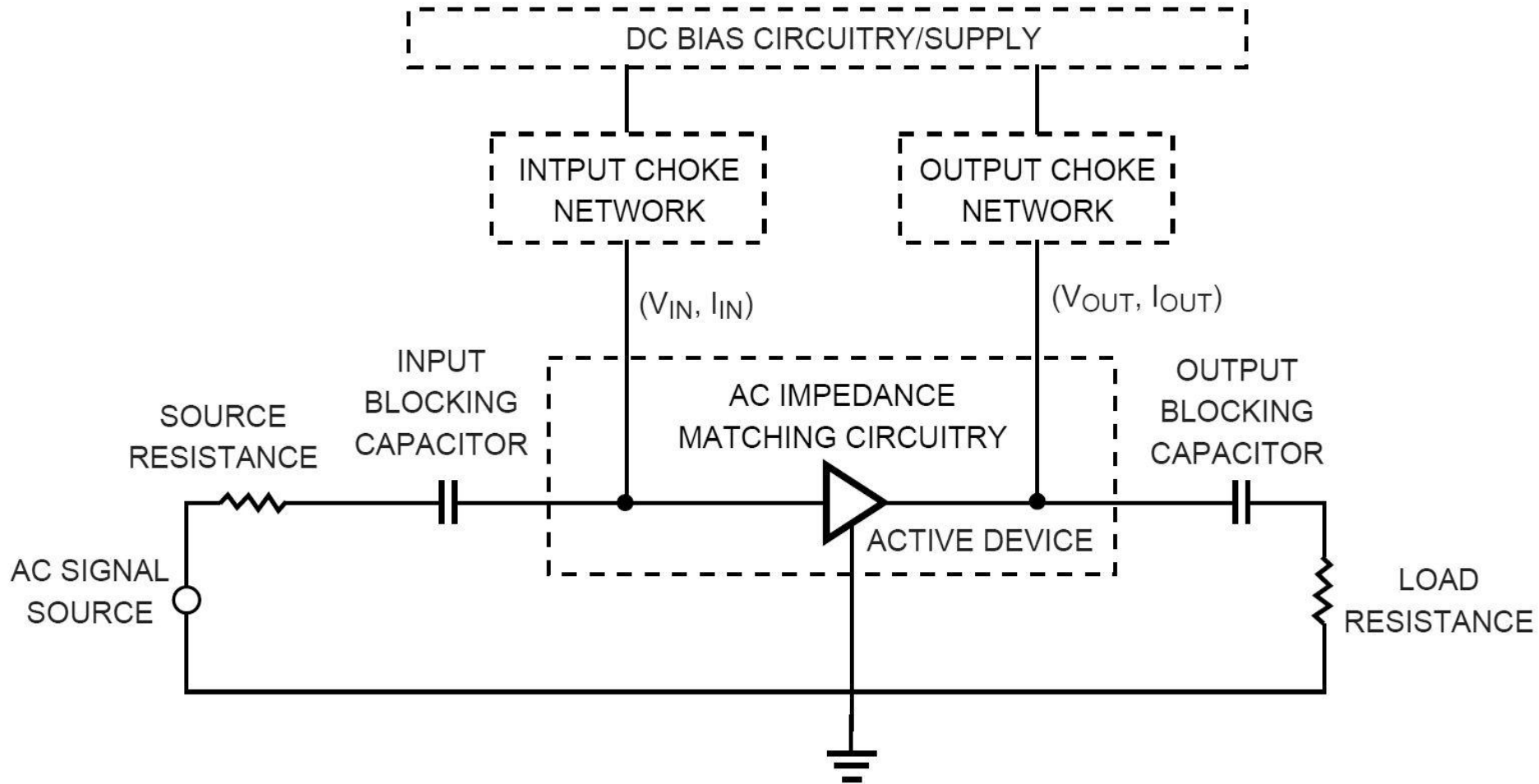
# Linii de transmisie

- <http://rf-opto.etti.tuiasi.ro>
- linii de transmisie Rogers
  - relatii dependente de
    - $t$ , inaltimea metalizarilor
    - $f$ , frecventa
  - relatii pentru
    - microstrip
    - strip
    - linii cuplate

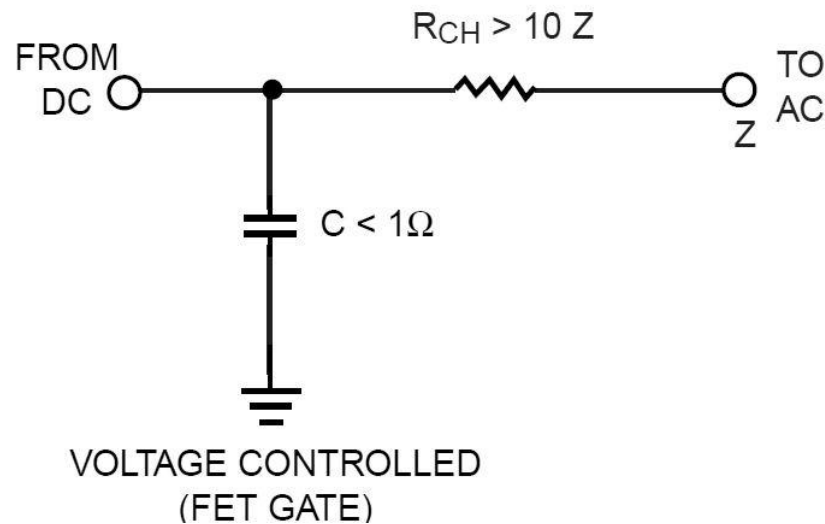
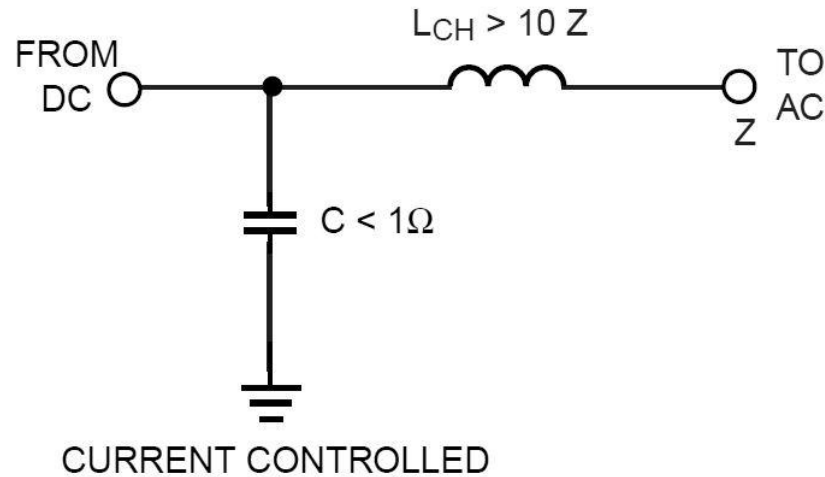
# Polarizare

- <http://rf-opto.etti.tuiasi.ro>
- note de aplicatii importante Agilent
  - decuplarea circuit de semnal/circuit de polarizare
  - detalii de implementare a circuitelor de polarizare pentru tranzistoarele cu microunde
- Appcad contine instrumente pentru calculul schemelor de polarizare

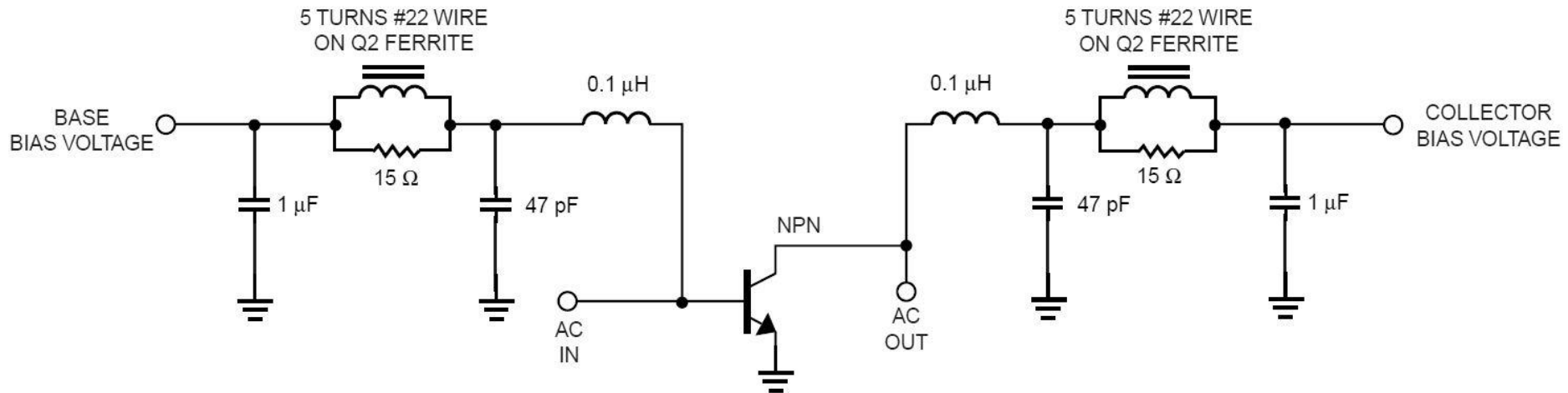
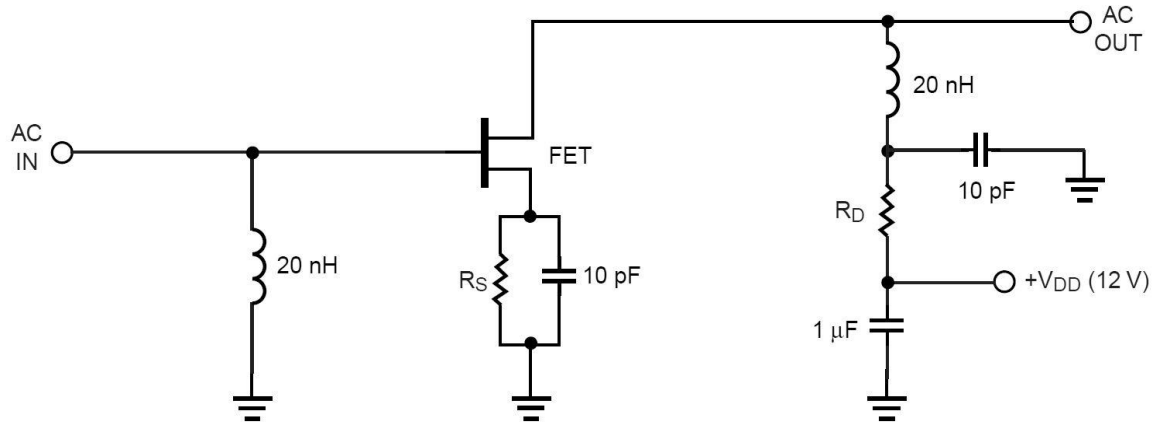
# Polarizare



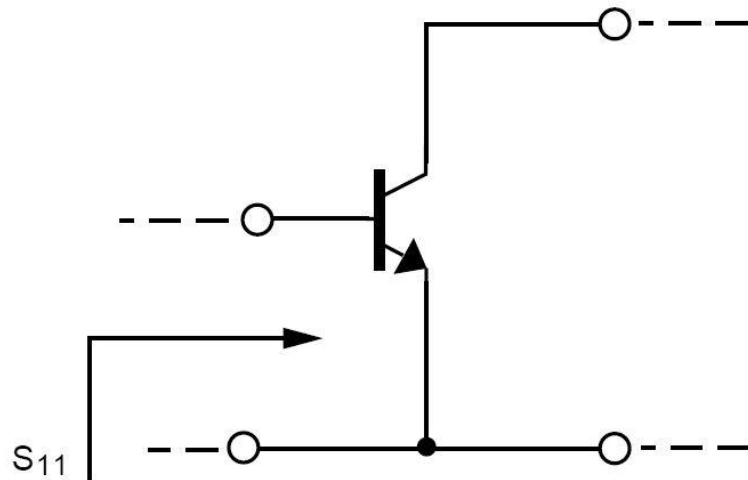
# Polarizare, soc tipic



# Polarizare, scheme/valori tipice

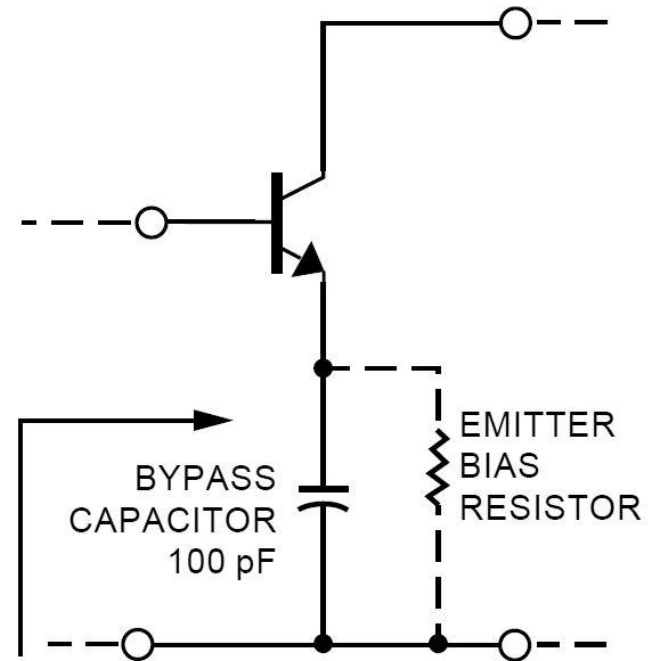


# Polarizare, problema elementelor conectate in E/S



$$S_{11} \text{ (AT 4 GHz)} = 0.52 \angle 154^\circ$$

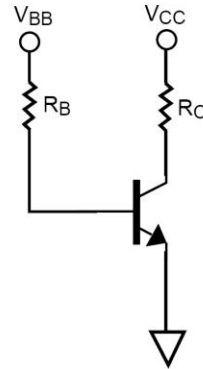
$$S_{11} \text{ (AT 0.1 GHz)} = 0.901 \angle -14.9^\circ$$



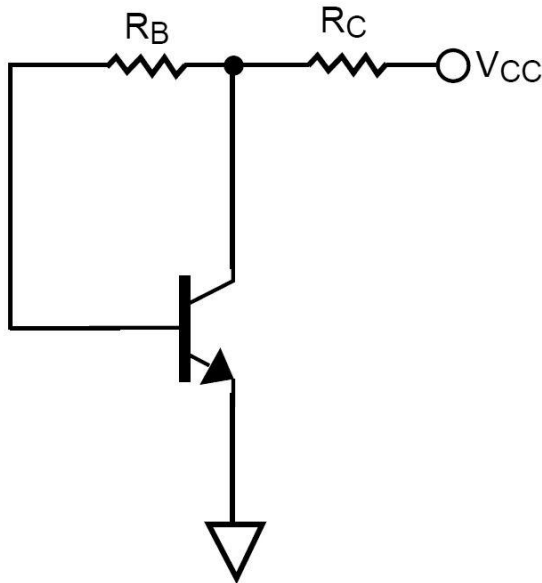
$$S'_{11} \text{ (AT 4 GHz)} = 0.52 \angle 154^\circ \text{ UNCHANGED AT 4 GHz}$$

$$S'_{11} \text{ (AT 0.1 GHz)} = 1.066 \angle -8.5^\circ \quad |S_{11}| > 1 \text{ AT 0.1GHz}$$

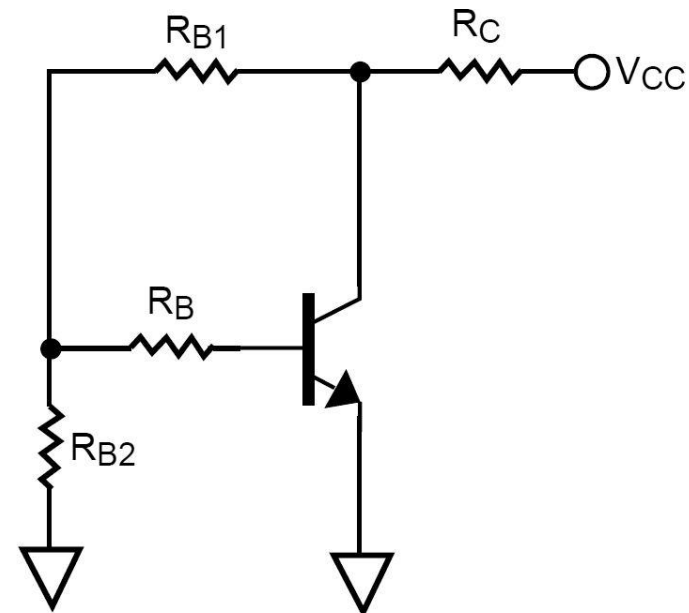
# Polarizare TB scheme de polarizare



NON-STABILIZED



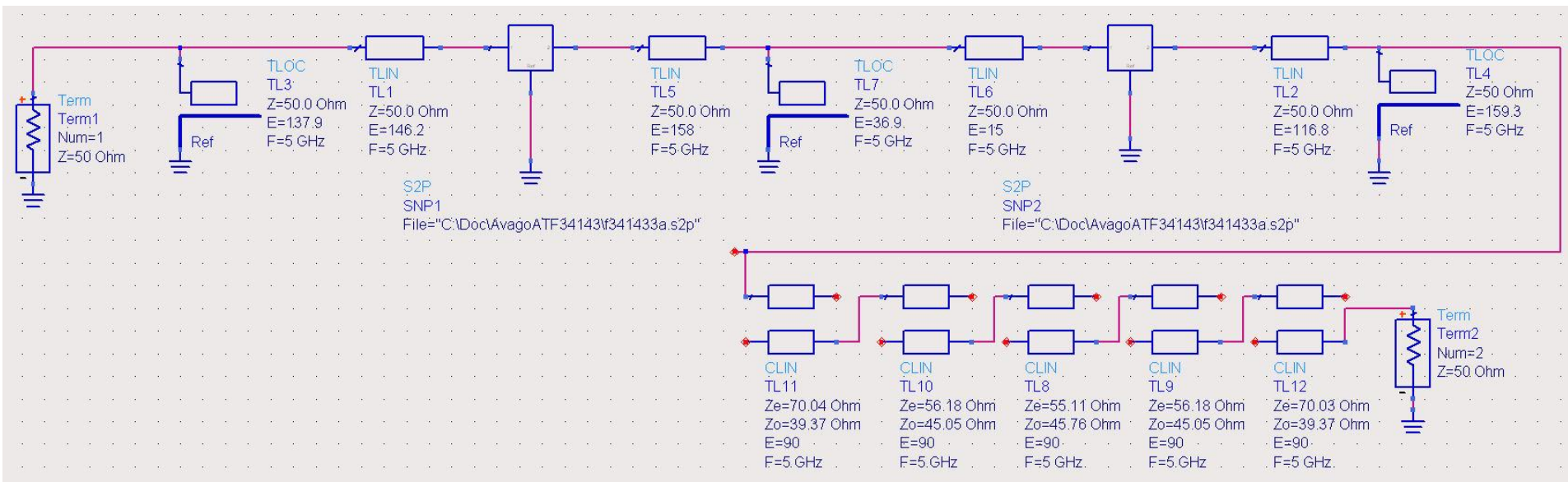
VOLTAGE FEEDBACK



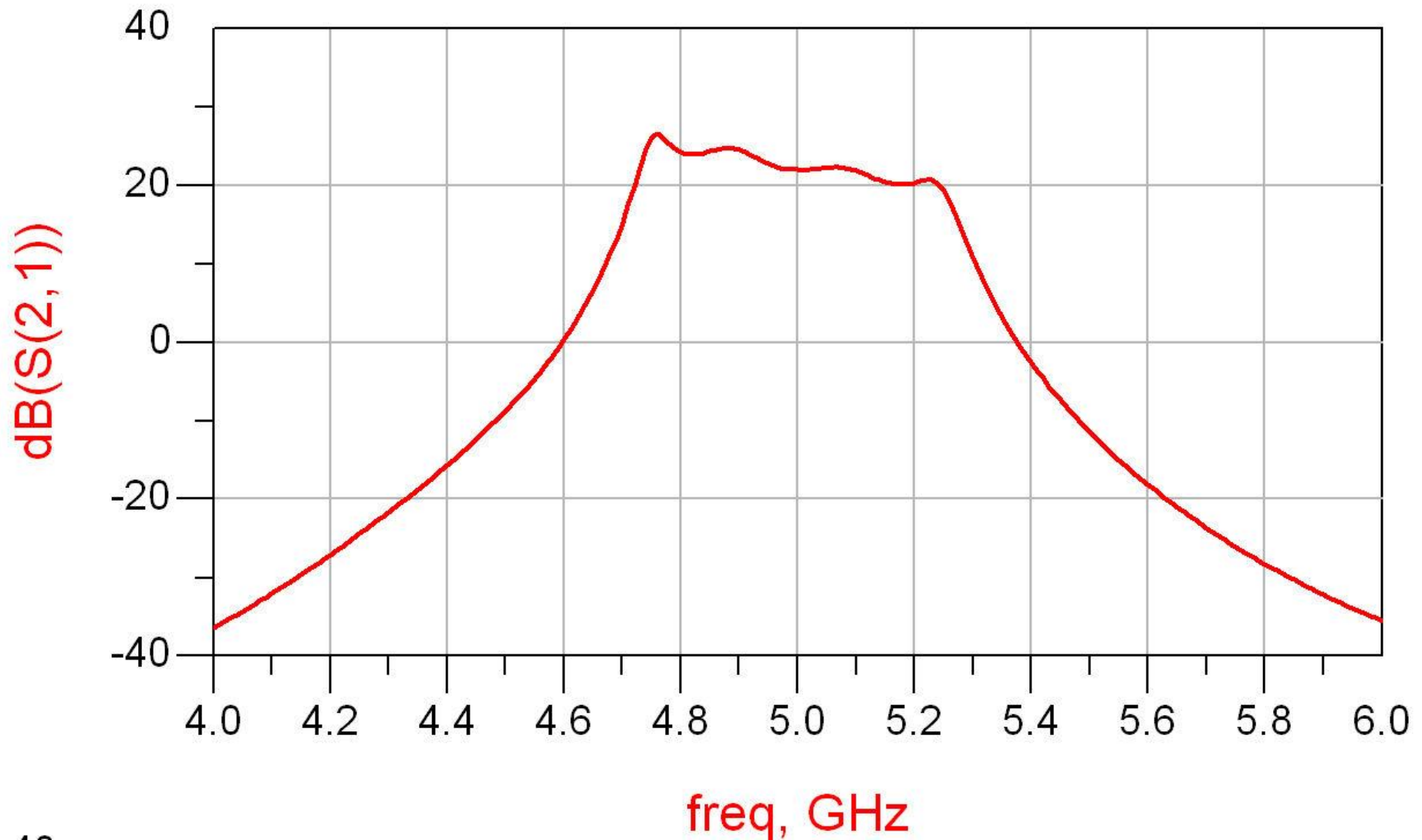
VOLTAGE FEEDBACK AND CONSTANT BASE CURRENT SOURCE

# Exemplu proiect

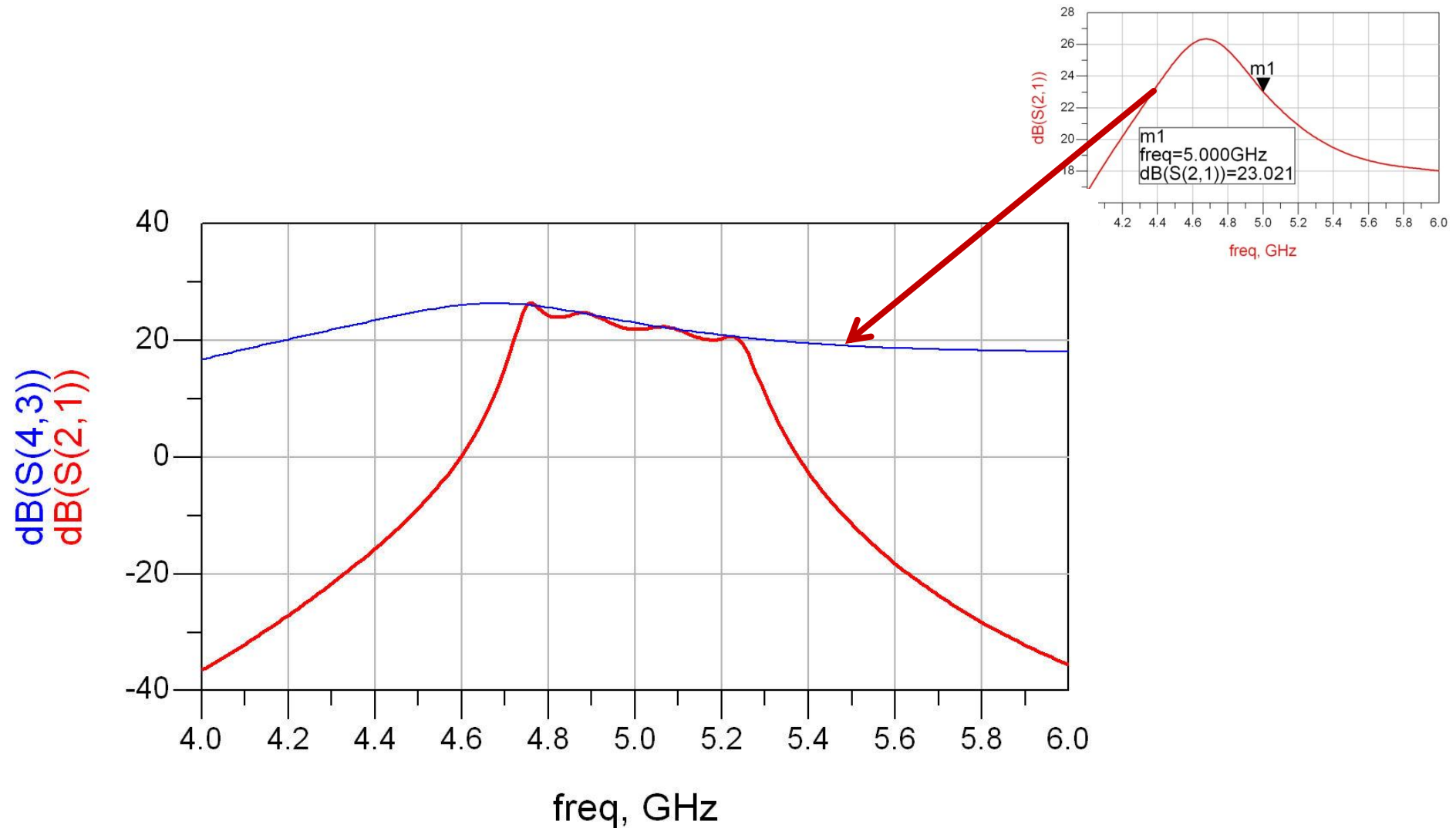
- Unirea celor doua scheme
  - C11 – amplificator (var 4/S36-37)
  - ~~C13~~ – filtre



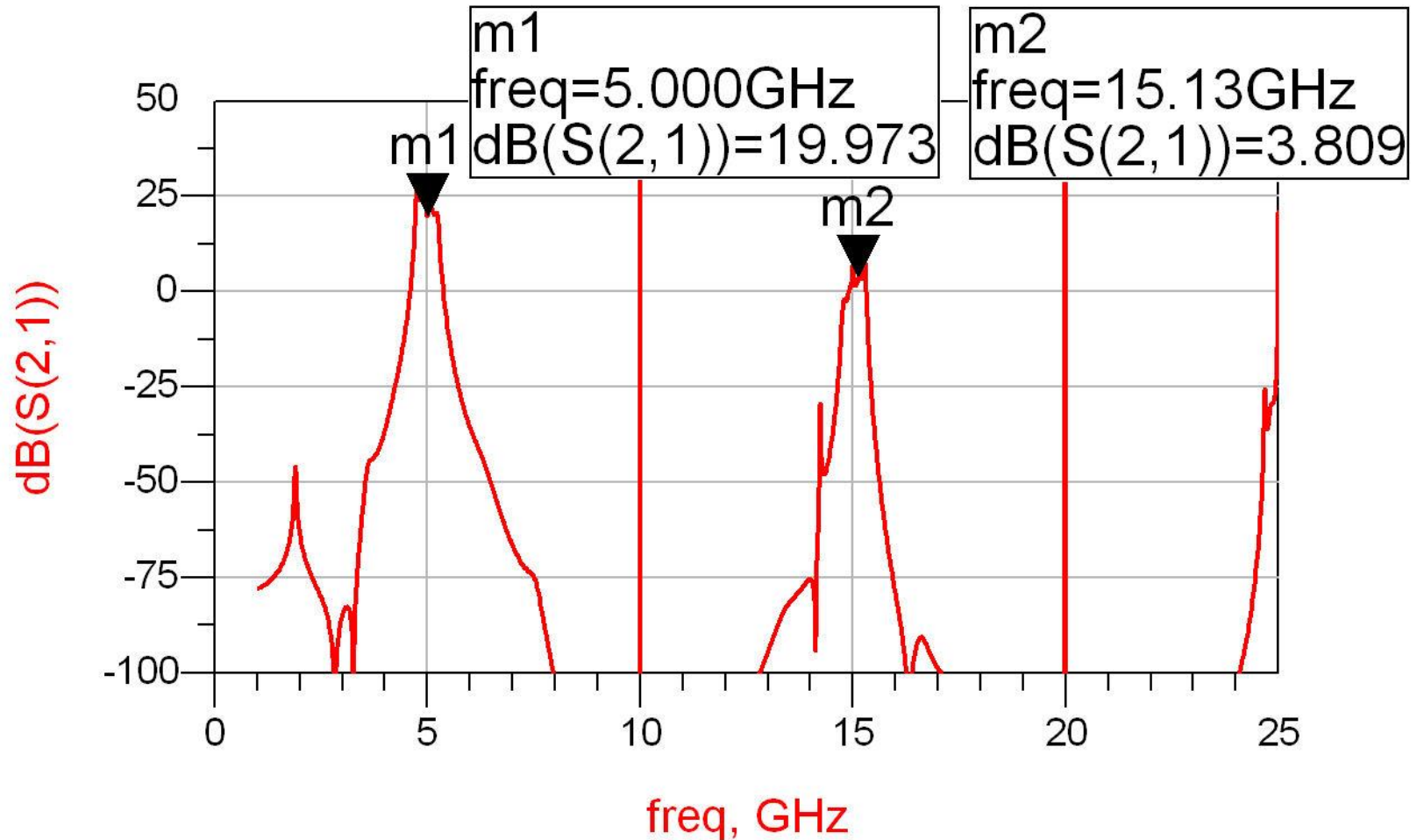
# Rezultat (dezechilibrat)



# Rezultat (dezechilibrat)

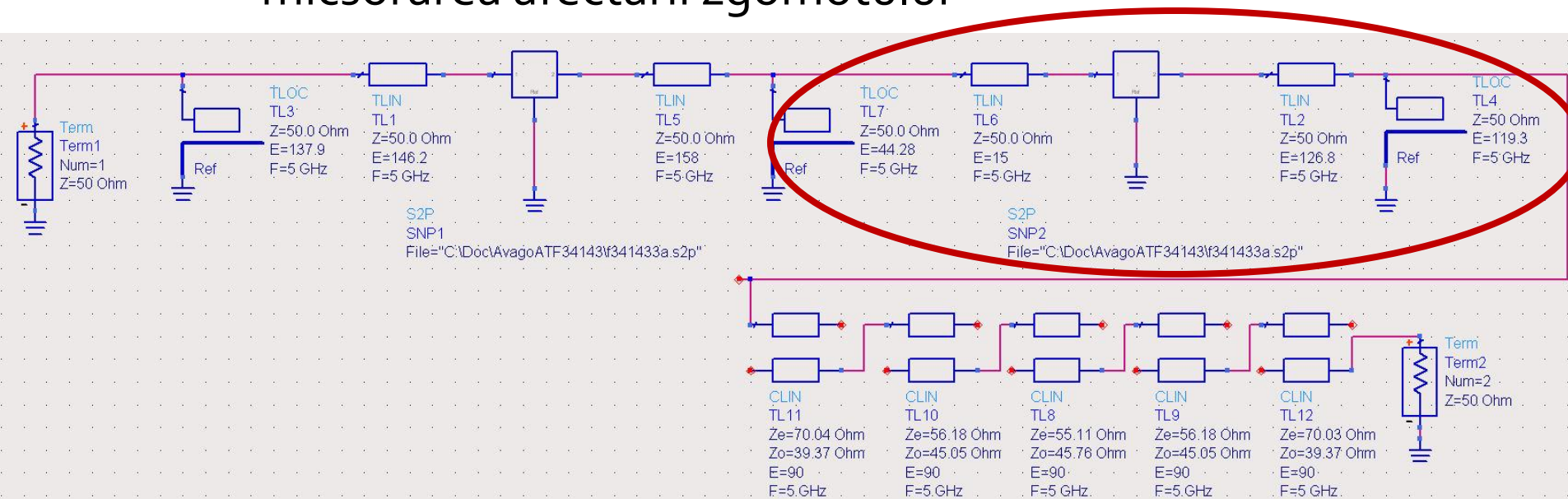


# Rezultat (periodic in frecventa)

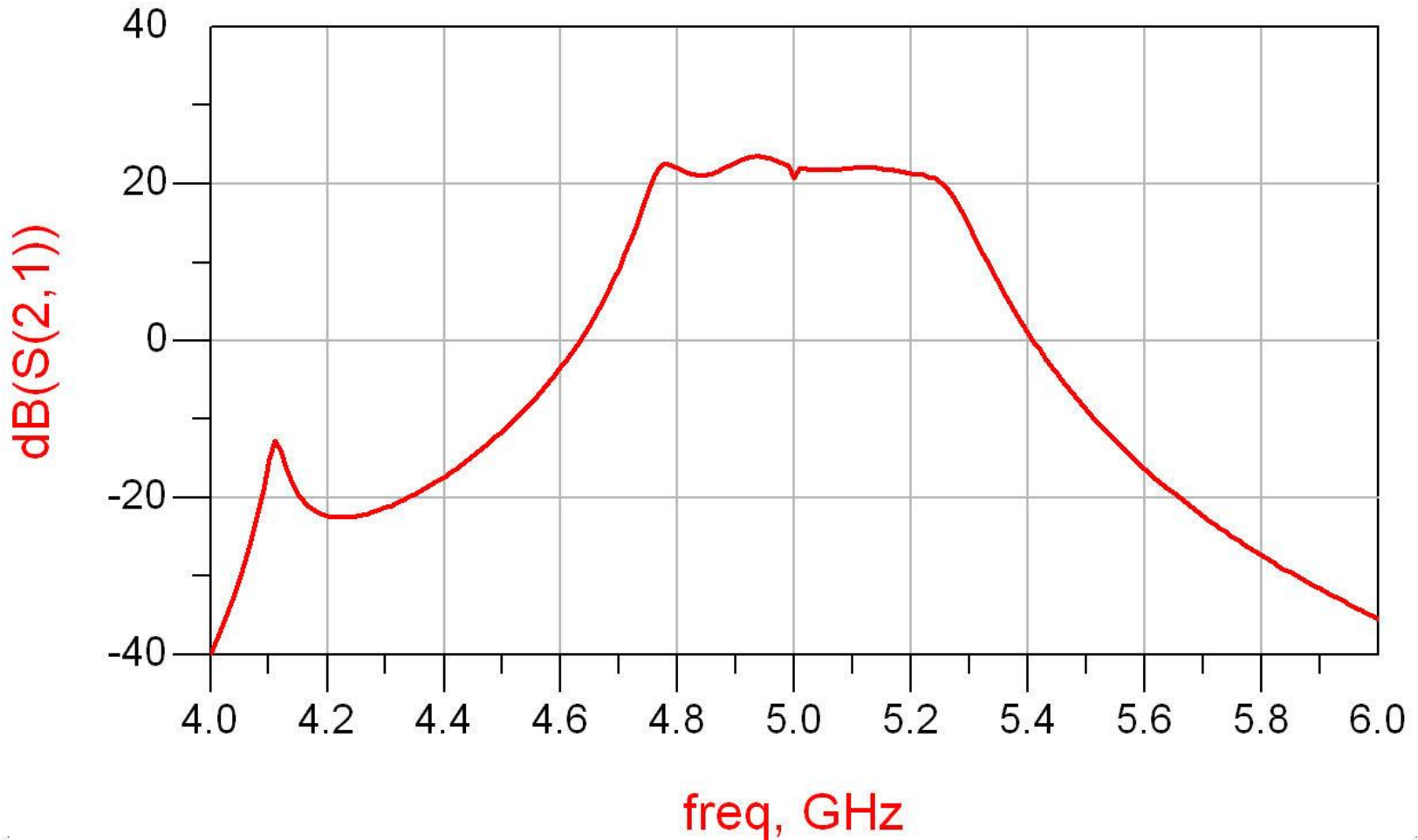


# Reglaj -> echilibrare

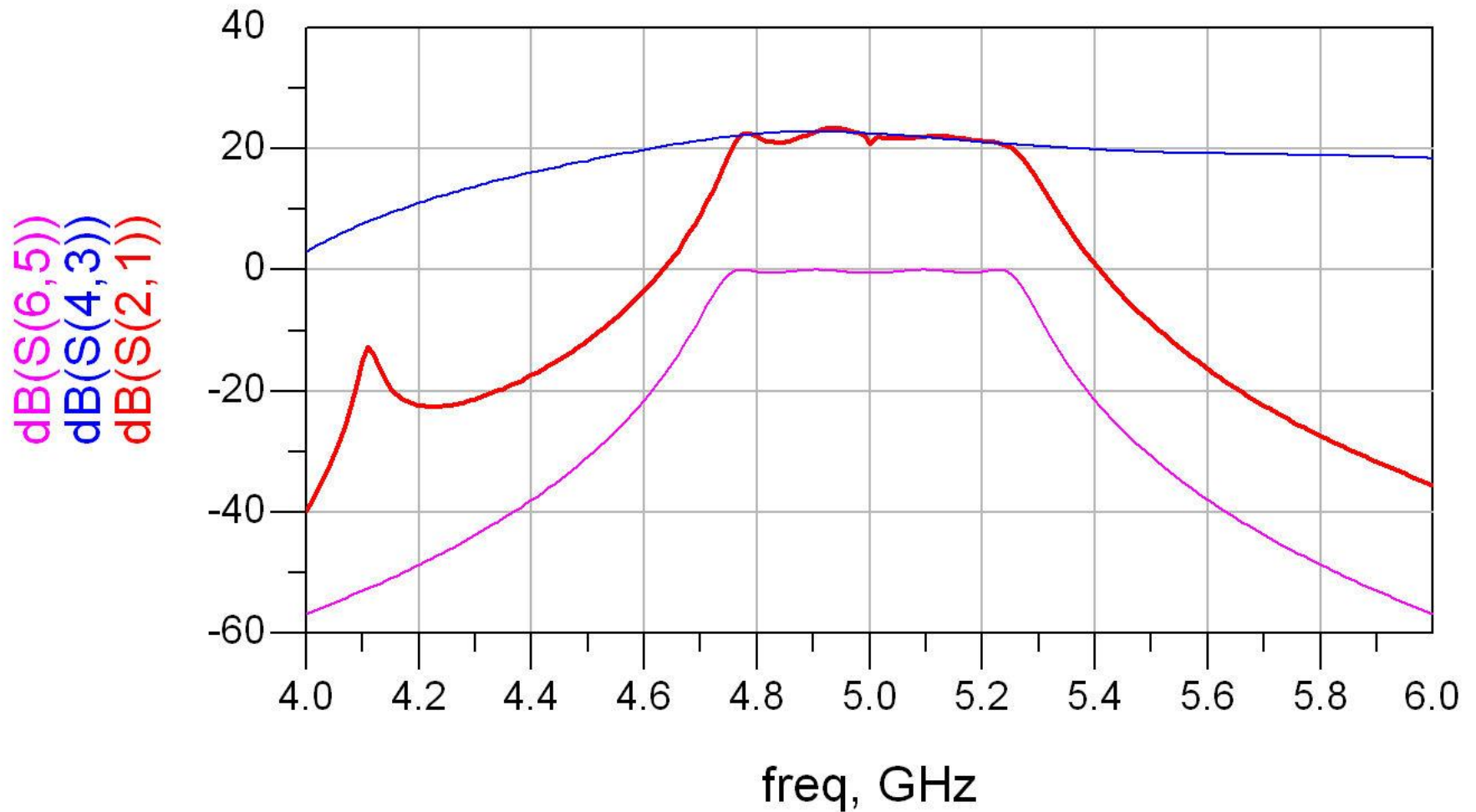
- scopul: echilibrarea caracteristicii amplificatorului (maxim la frecventa centrala)
  - se prefera reglarea lungimii liniilor de la iesirea amplificatorului
    - micșorarea afectarii zgomotului



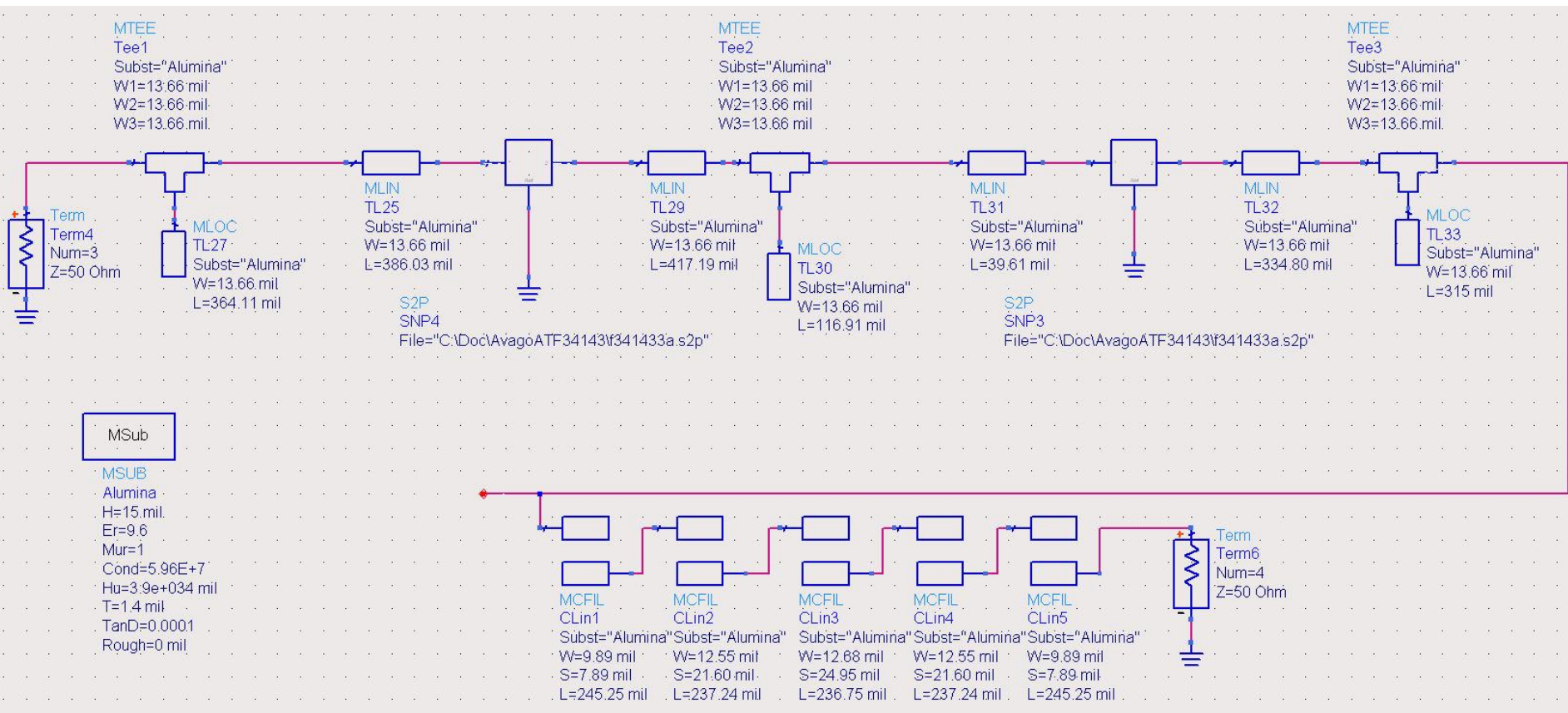
# Reglaj -> echilibrare, efect



# Amplificator, Filtru, Total

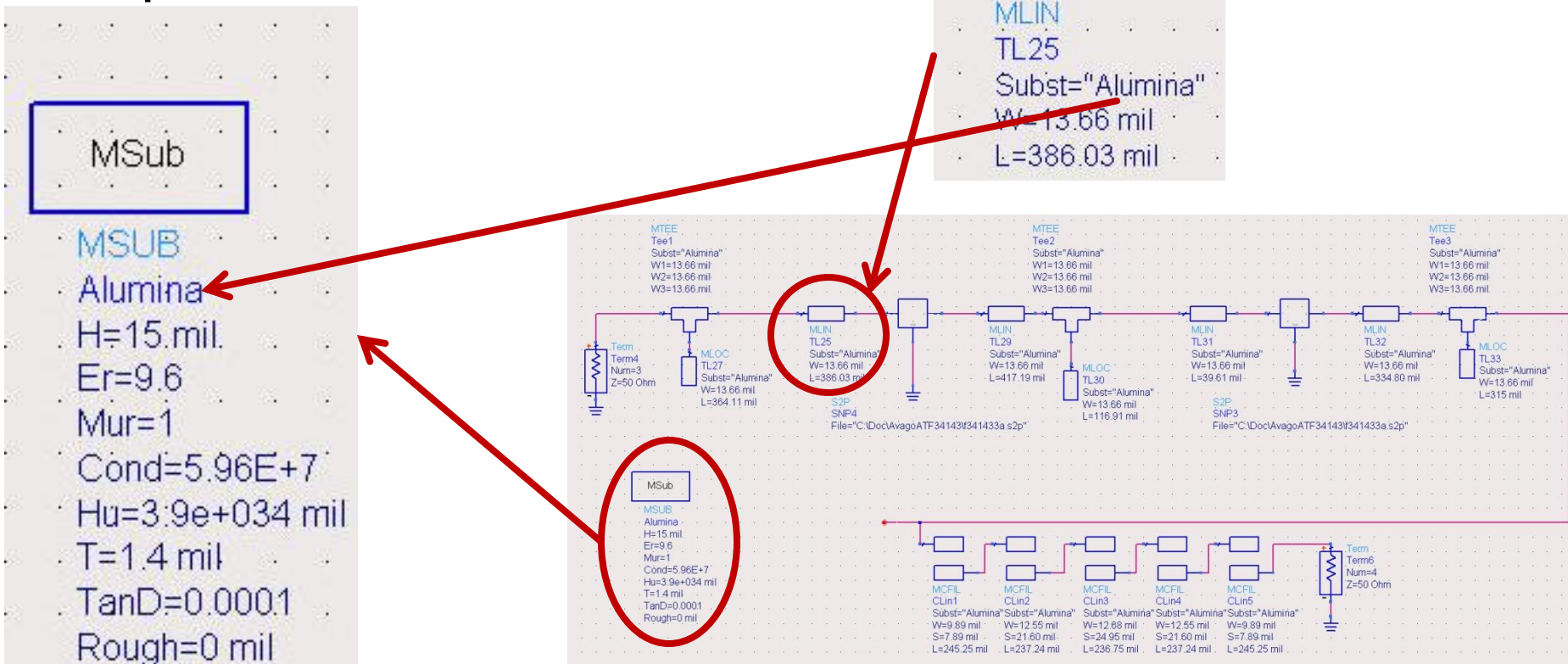


# Implementare cu linii microstrip



# Implementare cu linii microstrip

- Se introduce modelul de substrat
- Liniile/liniile cuplate se calculeaza cu Linecalc pentru acelasi substrat

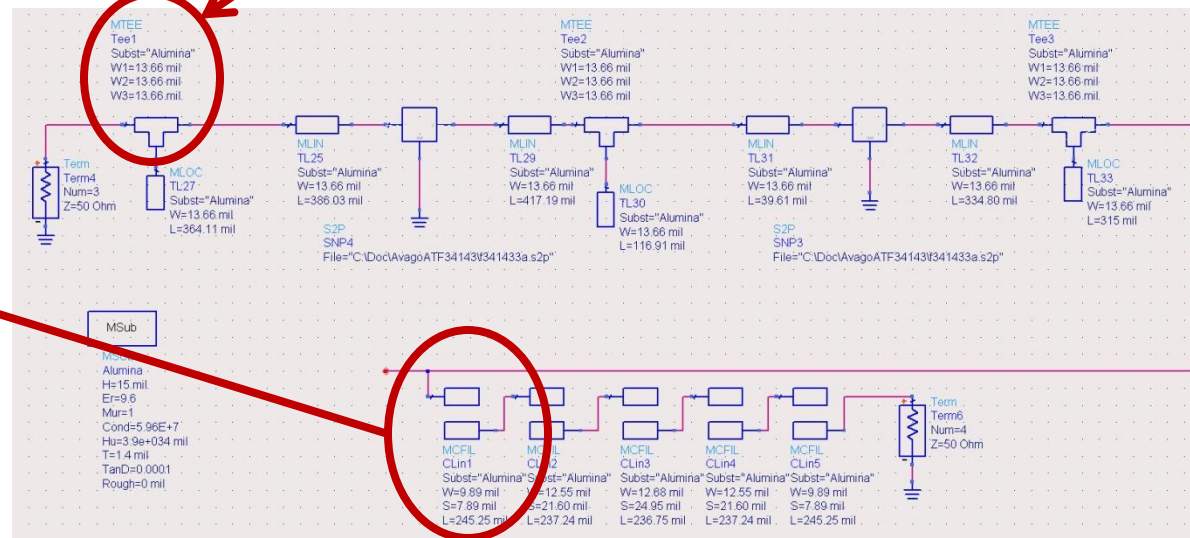
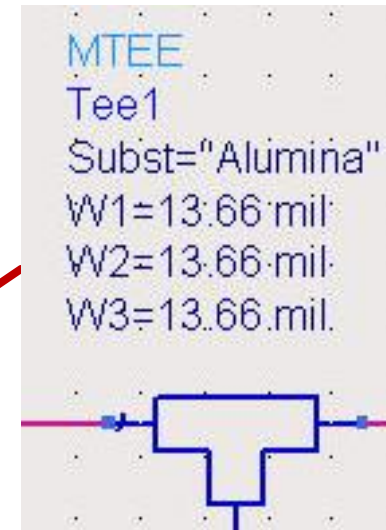


# Implementare cu linii microstrip

- Se folosesc componente din paleta Transmission Lines – Microstrip
  - MSUB - substrat
  - MLIN – linie serie
  - MLOC – stub paralel in gol
  - MTEE – modelare conexiune cu stub in paralel
  - MCFIL – sectiune de filtru cu linii cuplate (alternativa mai precisa decat MCLIN – se tine cont de faptul ca doua sectiuni succesive sunt in fizic alaturate)

# Implementare cu linii microstrip

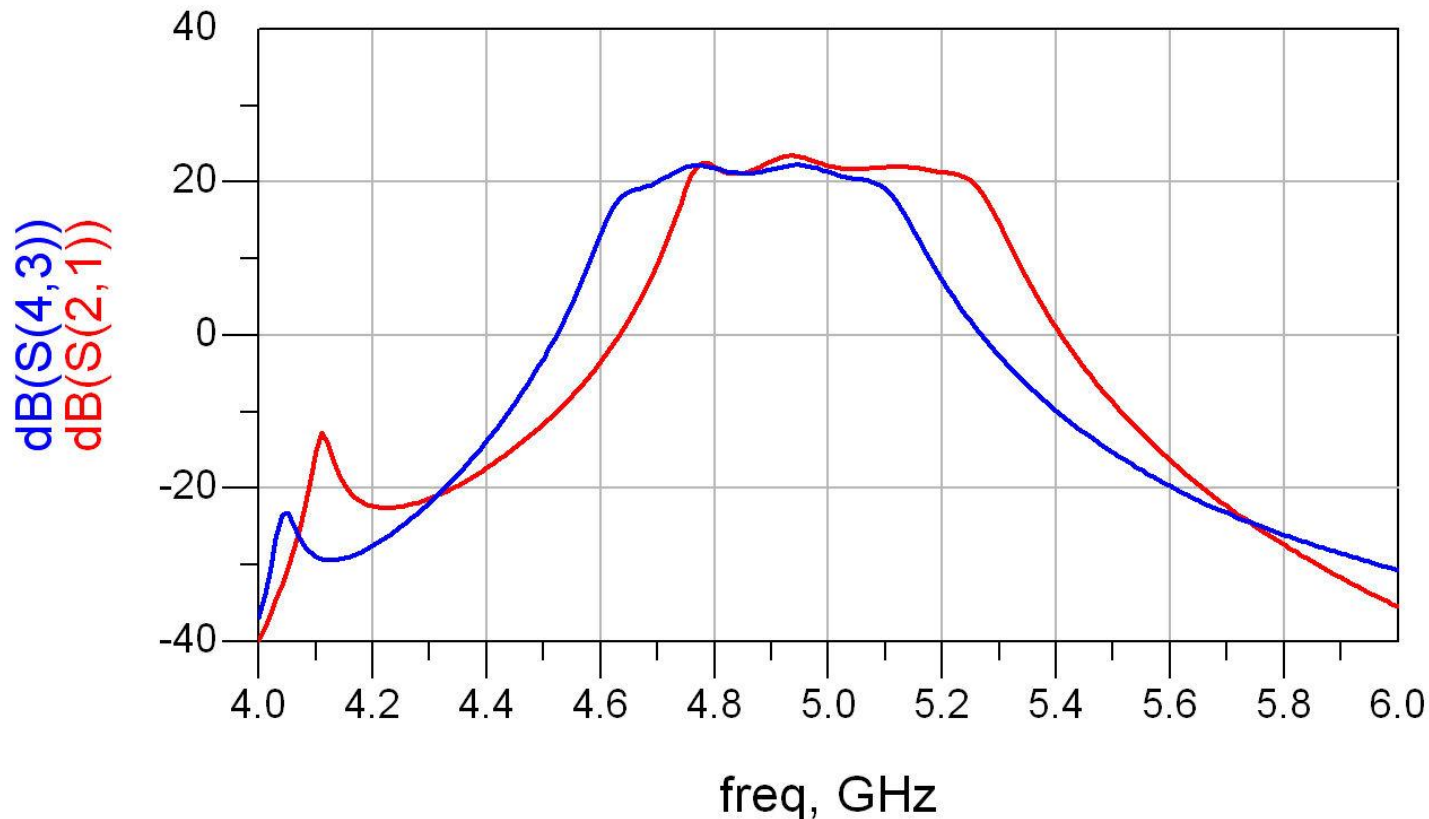
- E necesara atentie la completarea parametrilor pentru MTEE si MCFIL prin verificarea in schema a latimii liniilor conectate la fiecare terminal



# Implementare cu linii microstrip

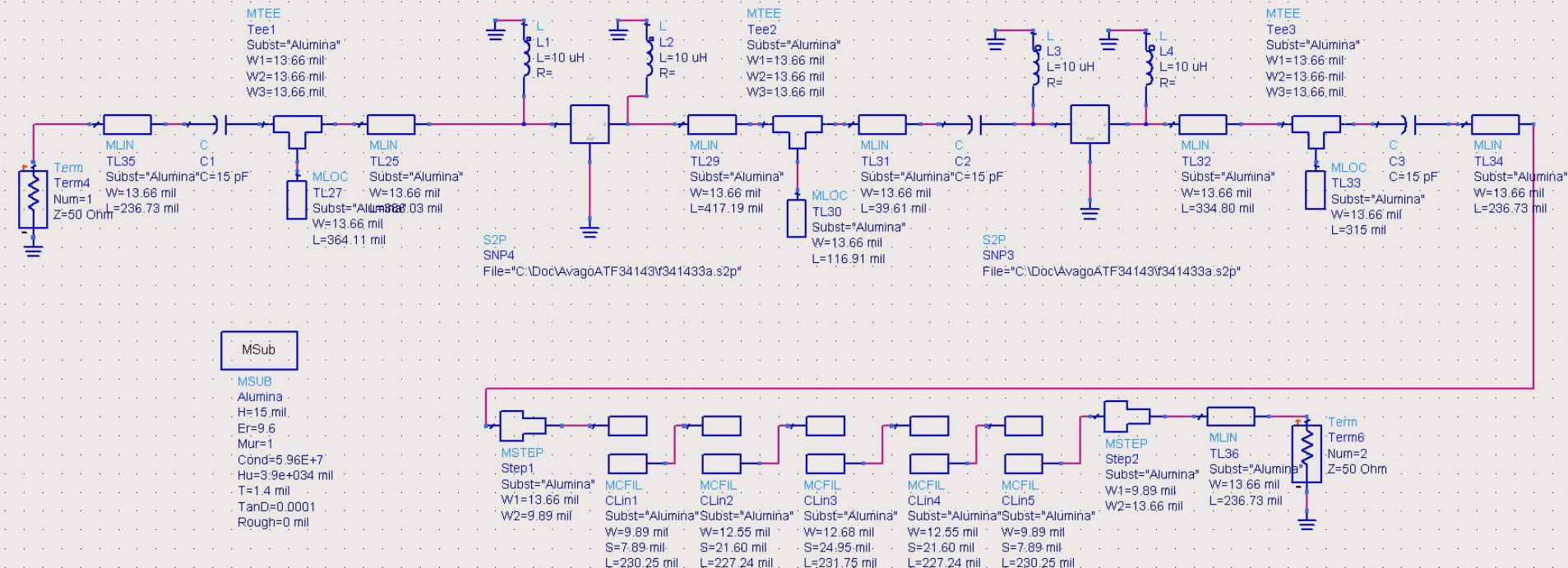
## Rezultat

- Se constata o deplasare a benzii obtinute (albastru) spre frecvente mai mici fata de modelele ideale (rosu)
  - datorat diferentei MCFIL / MCLIN

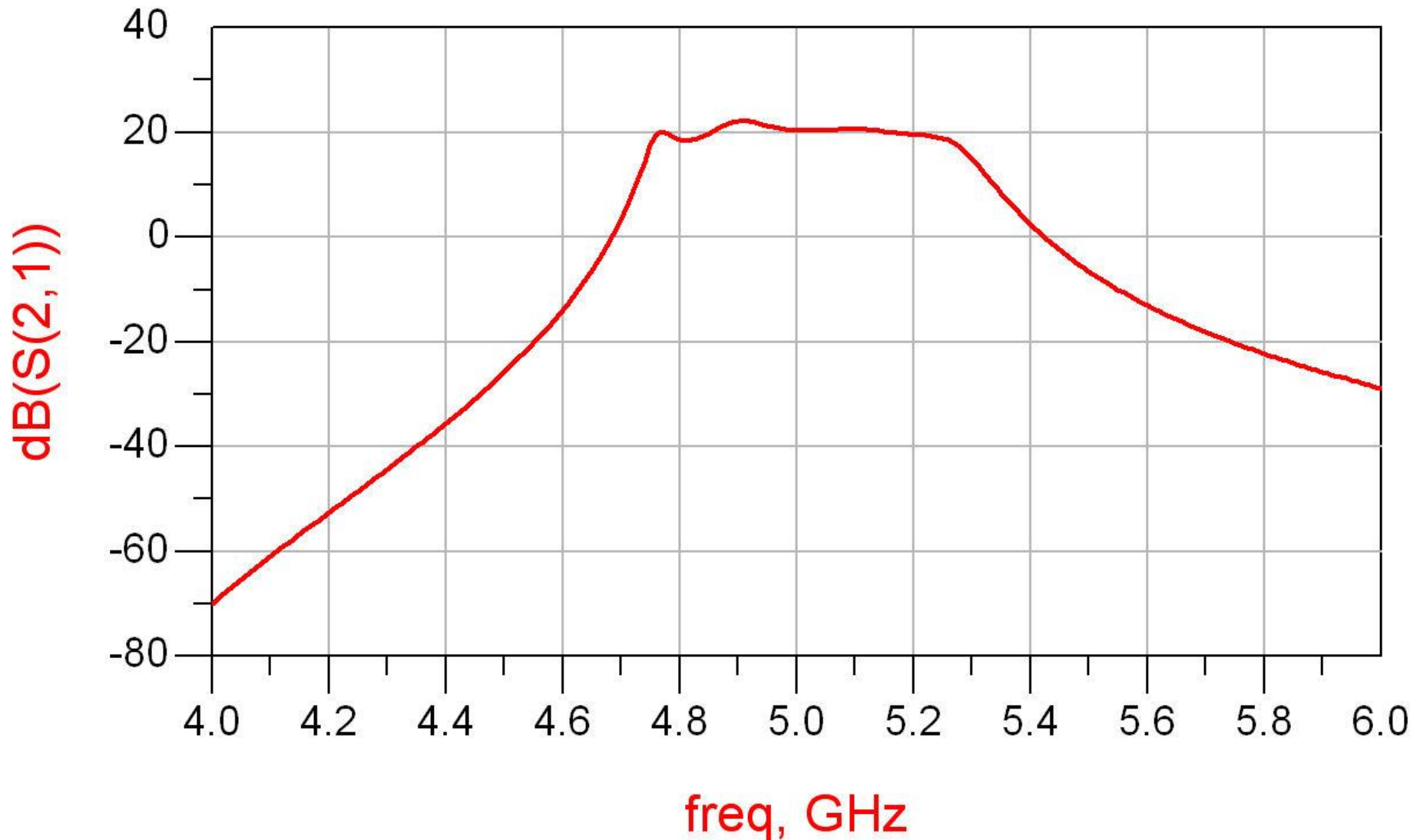


# Introducere elemente de polarizare

- Reglaj de lungimi la elementele filtrului pentru reglarea frecventelor in jurul  $f_0 = 5\text{GHz}$
- Introducere L (soc RF) si C (decuplare)



# Rezultat final (Castig)







# Contact

- Laboratorul de microunde si optoelectronica
- <http://rf-opto.etti.tuiasi.ro>
- [rdamian@etti.tuiasi.ro](mailto:rdamian@etti.tuiasi.ro)